2 b 4 п ь 8 8 6 b г Д О К Л А Д Ы

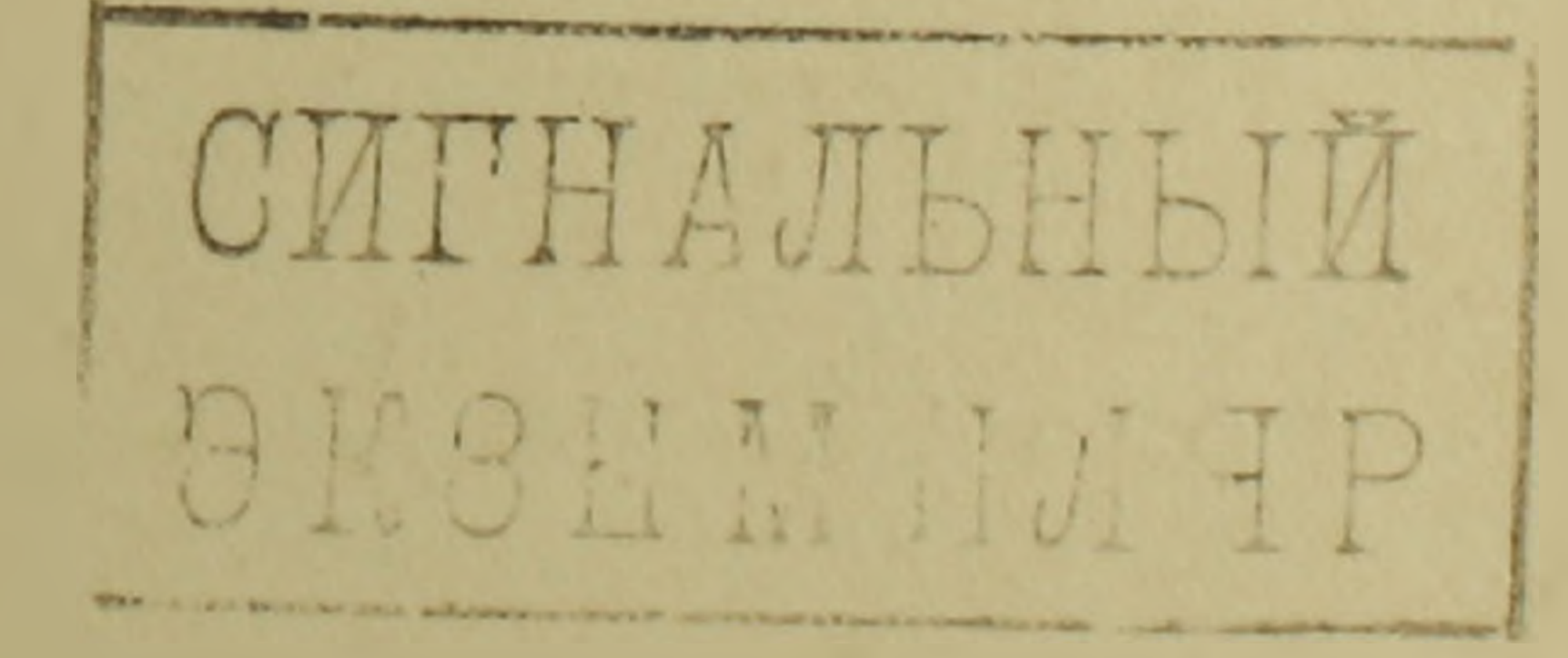
VIII, № 3 1948

խվբագրական կոլեգիա

Հ. Խ. ԲՈՒՆԻԱԹՑԱՆ, ՀՍՍՌ ԳԱ իսփական անդամ, Ա. Լ. ԹԱԽՏԱԶՑԱՆ, ՀՍՍՌ ԳԱ թղթակից անդամ Ս. Մ. ԼԵԲԵԴԵՎ (պատ. քաւտուղաւ), Վ. Հ. ՀԱՄԲԱՐ-ՉՈՒՄՑԱՆ, ՀՍՍՌ ԳԱ անդամ (պատ. խմբա-), Ա. Գ. ՆԱԶԱՐՈՎ, ՀՍՍՌ ԳԱ թղթակից անդամ:

Редакционная коллегия

В. А. АМБАРЦУМЯН, действ. чл. АН Арм. ССР (отв. редактор), Г. Х. БУНЯТЯН, действ. чл. АН Арм. ССР, М. М. ЛЕБЕДЕВ (отв. секретвры), А. Г. НАЗАРОВ, чл.-корр. АН Арм. ССР, А. Л. ТАХТАДЖЯН, чл.-корр. АН Арм. ССР.



ԲበՎԱՆԴԱԿՈՒ₽ՅՈՒՆ

Կի rտռական մաթ եմա sիկա	52
Ա. Գ. Նազարյան, Հայկական ՍՍՌ ԳԱ Թղթակից անդամ — Մարուլաիվ անդամ- ներով դիֆերենցիալ հավասարուններ	97
Ֆիզիկա	
Վ. Հ Հանրանձումյան, Հայկական ՍՍՌ ԳԱ իսկական անդամ — Ֆոտոնների ցրումների Թիվը պղտոր միջավայթում կատարվող դիֆֆուզիայի ղեպքում	101
Թ. խոսնորին աւ մի և ա	
Ալեքաանդր Հակորյան, Հայկական ՍՍՌ ԳԱ իսկական անդամ — Ֆիզիկո-քիմիա կան սիստենների մի դասի մասի	107
ևառուցումների ձեսություն	
Վ Ա. Սոեփանյան — Շաղախի և քարի նորժալ շաղկապժան հետազոտություն	113
-paratibration	
Ս. Ցա, Վարդազարով—Սառցապաչտպանության մի ցառումների սխեմայի ընտրումը դերիվացիոն հիդրոկայանների համար	121
Ռույսնթի Շիլոգենիա	
Մ. Ս. Ցակովլեվ — Ցորհնազգիների սաղժի ժորֆոլոգիական տիպերը և Նրանց	
ֆիլոգենիան	127
Pacjubrh աշխարհագրություն	
Ս Վ. Դոլիցին—Հարավայիս Կոլխիդայի «շկերիանի»-ի պատմության հարցի Հուրջը	135
Կենգանաբանություն	
Ս. Կ. Դալ — Հարավային Անդրկովկասուժ կարճամատ ճնճղուկի (Carpospiza bra- chydactyla Bo.) էկուոցիայի և տարածվան վասին	120

СОДЕРЖАНИЕ

	Crp.
Прикладная математика	
А. Г. Назаров, члкорресп. АН Армянской ССР. Диференциальные уравнения с импульсивными членами	97
Физика	
В. А. Амбарцумян, действ. чл. АН Армянской ССР. О числе рас- сеяний при диффузии фотонов в мутной среде	101
Термодинамика	
Александр Акопян, действ. чл. АН Армянской ССР. Об одном классе физико-химических систем •	107
Теорня сооружевий	
В. А. Степанян. Исследование нормального сцепления раствора с камнем ·	113
Гидроэнергетика	
С. Я. Вартазаров. Выбор схем ледозащитных мероприятий для де- ривационных гидростанций	121
Филогения растений	
М. С. Яковлев. Морфологические типы зародыша и филогения злаков	127
Фитогеография	
С. В. Голицын. К вопросу об истории шкэрнани Южной Колхиды	135
Зоология	
С. К. Даль. К экологии и распространению короткопалого впропья (Carpospiza brachydactyla Br.) в южном Закавказье • •	139

VIII

1948

3

AZNTAMITAM RAHLAKZNEM

А. Г. Наваров, чл. нерресв. АВ Арминеной ССР

Дифоренциальные уравнении с импульсивными членами (Представлено 25 XI 1947)

Пользуясь понятием о контурной производной (1,3), можно решать векоторые граничные и контактные задачи математической физики.

Рассмотрим, для простоты, неоднородное диференциальное уравневне п-го порядка с постоянными коэфициентами.

$$a_0y+a_1y...+a_{n-1}y'+a_ny=f(x.),$$
 (1)

при начальных условиях:

$$x = x_0; y = y_0, y = y_0, y = y_0.$$
 (2)

Выразим (1.) в контурных производных, для чего вместо у условимся рассматривать $\Gamma(x-x_0)$ у.

Тогда, как нетрудно убедиться непосредственной проверкой, вместо (1) получим:

$$a_{0}[y] + a_{1}[y] \cdot ... + a_{n-1}[y]' + a_{n} y = a_{0}y_{0} \Gamma(x - x_{0})$$

$$+ (a_{0}y'_{0} + a_{1}y_{0})\Gamma(x - x_{0}) + (a_{0}y''_{0} + a_{1}y''_{0} + a_{2}y_{0}) \Gamma(x - x_{0})$$

$$\cdot ... + (a_{0}y_{0} + a_{1}y_{0} \cdot ... + a_{n-1}y_{0})' \Gamma(x - x_{0}) + f(x).$$
(3)

Уравнение (3) заменяет собою (1) и (2). В нем наряду со свободным членом і(х) входят на равных с ним вачалах импульсивные функции, харантеривующие начальные условия. Причем свободный член і(х) может включать в себе также некоторые импульсивные функции в соответствии с физической сущностью поставленной задачи. Нетрудно убедиться, что (3) может быть решено, если найдено решение для функции Грина

$$a_0[S] + a_1[S] \cdot \cdot \cdot + a_{n-1}[S]' + a_n S = \Gamma(x).$$
 (4)

Заметим сначала, что при замене $\Gamma(x)$ через $\Gamma(x-\xi)$ мы получим решение $S(x-\xi)$. Теперь, польвуясь линейностью (3), можем находить частные решения для каждого свободного члена, входящего в его правую часть, и затем полученные решения сложить. Найдем частное решение, соответствующее f(x), т. е. в предположении нулевых начальных условий. Разобьем площадь, ограниченную функцией f(x), на элементарные импульсы. Каждой элементарной импульсивной функции

$$\Gamma(x-\xi_i)$$
 $f(\xi_i) \Delta \xi_i$

удовлетворяет решение

$$S(x-\xi_i) f(\xi_i) \Delta \xi_i$$
.

Следовательно, решение для f(x)

$$u_0(x; \mathbf{x}_0) = \lim_{\Delta \xi_1 \to 0} \sum_{\mathbf{x}_0} S(x - \xi_1) f(\xi_1) \Delta \xi_1 = \int_{\mathbf{x}_0} S(x - \xi_1) f(\xi) d\xi. \tag{5}$$

Чтобы найти полное решение для (3), достаточно вместо f(x) подставлять импульсивные функции различных порядков:

$$u_{m}(x; x_{0}) = \int_{x_{0}}^{x} S(x - \xi) \Gamma(\xi - x_{0}) d\xi = S(x - x_{0}).$$
 (6.)

Окончательно общее решение для (3) запишется теперь в виде:

$$y = a_0 y_0 u_n(x; x_0) + (a_0 y'_0 + a_1 y_0) u_{n-1}(x; x_0)$$

$$(n-1) (n-2)$$

$$(a_0 y_0 + a_1 y_0 ... + a_{n-1} y_0) u_1(x; x_0) + u_0(x; x_0).$$
(7)

Уравнение (7) дает общее решение задачи при произвольных начальных условиях и, что самое главное, при f(x), содержащем импульсивные функции различных порядков. Последнее обстоятельство не препятствует записи уравнения в виде единого выражения. благодаря наличию разрывных множителей $f(x-a_1)$, где $x=a_1$, точки приложения сосредоточенных факторов A_1 $f(x-a_1)$.

Пользуясь понятием о контурной производной, можно решать векоторые контактные задачи математической физики путем ввода в соответствующие диференциальные уравнения импульсивных коофициентов. Этой операцией устраняется необходимость членения уравнения на отдельные ветви, с обособленным рассмотрением условий контакта в месте их сопряжения. Сущность метода заключается в том, что рассматривается линейное диференциальное уравнение с переменными коофициентами и путем преобравования последних получается диференциальное уравнение с импульсивными коофициентами, отвечаю-

щими требованиям рассматриваемой контактной задачи. Величины импульсивных функций при этом неизвестны. Они определяются из системы линейных уравнений для одномерных задач и системы функциональных уравнений для двумерной задачи соответственно для точек
или линий контакта. Сущность рассматриваемого метода проще всего
пояснить на примере. Рассмотрим балку постоянного сечения, опирающуюся на упругую винклеровскую среду с коэфициентом постели k и
кроме того в точках х = a_i, на упруго смещающиеся точечные опоры,
с коэфициентами податливости К_i, представляющими смещение под
действием единичных сил, приложенных к рассматриваемым опорам.

Диференциальное уравнение балки на упругом основании при переменном ковфициенте постели k(x), запишется следующим образом:

$$EI\frac{d^4y}{dx^4} + k(x)y = q. \qquad (8)$$

Нетрудно убедиться, что для поставленной задачи необходимо принять

$$k(x) = k + \Sigma \Gamma(x - a_i) K_i. \qquad (9.)$$

Подставляя (9.) в (8) и имея ввиду, что теперь (8) должен рассматриваться в контурном смысле, а также, что

$$\Gamma(x-a_i)y(x) = \Gamma(x-a_i)y(a_i),$$
 (10)

получим окончательно интересующее нас диференциальное уравнение с импульсивными ковфициентами:

$$El\frac{d^{a}[y]}{dx^{a}}+ky=q(x)-\Sigma\Gamma(x-a_{i})K_{i}y(a_{i}). \qquad (11)$$

Граничные условия, для простоты, опущены. Здесь сплошную нагрузку также рассматриваем в обобщенном смысле.

В результате решения (11) мы получим у(х.) в зависимости от внешней нагрузки и неизвестных ординат у(a_i). Приравняв в этом решении последовательно $x = a_i$, $x = a_i$ и т. д., мы получим систему линейных уравнений для определения у(a_i), чем решение задачи доводится до конца.

Если в уравнении (11) приравнять k=0, то получим уравнение для балки опертой только на отдельные упругие опоры. Решение приведется к системе полиномов третьего порядка, связанных между собою разрывными множителями.

Этот прием может быть применен к решению задач о колебаниях упругих систем, носящих сплошную и сосредоточенные нагрузки, устойчивости стрежней заделанных в упругую среду с включением точечных упругих опор, рассмотрении задач электротехники, когда в цепи помимо непрерывно распределенных факторов. могут быть включены

точечно сосредоточенные факторы в виде сопротивления, емкости или самонндукции и так далее. Этот же способ можно применить и для многомерных задач с тем отличием, что в них будут фигурировать импульсивные функции более сложной природы (12).

Институт стронтельных материалов и сооружений Академии Наук Армянской ССР Ереван, 1947, воябрь.

H. 9 PHZUPBUT

Dagselahd medandebrad shepringhal padanmentalbr

որոնը հետագայում միացվում է կոնաուրային ածանցյալներով արտահայաված դծային ժեմ, հրատակայում միջում է կոնաուրային ածանցյալներով արտահայանած դծային վարանական կատարելու հավատարային ինդեր հարավան կատարելու հավատարանան հետության դեպուլսիվ դարձատ հետության դեպուլսիվ դարձատ հետության դեպուլսիվ դարձատ հարավան հետության դեպուլսիվ դարձատ հետության հետության դեպուլսիվ դարձատ հետության հետության դեպուլսին հարավանական հետությաններ հարավանական հետության հարավարական դեպուլսին հետության հետության հետության հետության հետության հետություն։

Ալիտաանջում հետությում հետության և հետության հետություն։

AMTEPATYPA

1 А. Г. Наваров. Изв. АН Арм. ССР (сер. естеств. маук), № 6, 1946. 2. А. Г. Наваров. ДАН Арм. ССР, 7. № 4, 1947. 3. А. Г. Наваров. ДАН Арм. ССР, 8, № 1, 1948.

1948

ONSHEA

В. А. Амбарнумян, действ. чл. АН Арминской ССР

О числе рассенный при диффузии фотонов в мутной ореде (Представлено 21 II 1948)

Теория рассеяния света в мутной среде (т. е. в среде, где происходит как поглощение, так и рассеяние) разбирает стационарные задачи теории диффузии фотонов через среду. При этом в качестве основной задачи в теории рассеяния всегда ставился вопрос о вычислении интенсивности света в задачной точке и в задачном направлении. Вопрос же о статистике чисел рассеяний, испытанных квантами, входящими в состав того или иного пучка, обычно не ставился. Между тем оказывается возможным решить и этот вопрос, оставаясь в рамках стационарной задачи, т. е. без рассмотрения хода процесса во времени. Это решение и составляет цель настоящей заметки.

Рассматриваемая при этом проблема многократного рассеяния в мутной среде может носить весьма общий характер. Среда может занимать объем любой формы. Зависимость коэфициента рассеяния с от координат в этом объеме может быть какой угодно. Точно также падающее извне излучение, заданное нам, может иметь любую зависимость от координат точек на границе среды и направления падения. Может быть задано также любое распределение источников фотонов. Даже индикатриса рассеяния может меняться от точки к точке. Единственное допущение, делаемое нами, заключается в том, что коэфициент поглощения и пропорционален коэфициенту рассеяния и, что, следовательно, отношение

представляющее вероятность "выживания" фотона при элементарном акто взаимодействия его с частицами среды, есть величина постоянная. Это отношение ѝ входит в уравнение переноса

$$\frac{1}{\sigma + x} \frac{dI}{ds} = -I + \frac{\lambda}{4\pi} \int x(\gamma, P) I d\omega + \frac{\varepsilon}{4\pi}, \qquad (1)$$

где I есть интенсивность излучения, х(ү, Р) есть индикатриса рассея-

ния, представляющая собою функцию как угла рассеяния у, так и точки Р, а э-плотность источников.

При заданных предельных условиях решение уравнения (1) яв. ляется функцией точки, направления и величины д.

Очевидно, что интенсивность для любой точки и направления при $\lambda = 1$ (чистое рассеяние) может быть представлена в виде:

$$l=\sum_{n=0}^{\infty}l_n$$
,

где In есть интенсивность, обусловленная фотонами, претерпевшими п рассеяний.

В общем же случае $\lambda \pm 1$ очевидно, будем иметь

A 15 10 5 11 10

$$I(\lambda) = \sum_{n} \lambda^{n} I_{n}. \tag{2}$$

так как $\lambda^{\text{в}}$ есть вероятность выживания фотона после п рассеяний. Очевидно, что ряд (2) сходится в круге $|\lambda| \leq 1$.

Таким образом, достаточно взять п-ый член разложения I по степеням λ и разделить на I, чтобы узнать какую долю среди квантов, проходящих в данной точке и в данном направления составляют кванты, претерпевшие п рассеяний. Иными словами, эта доля равна

$$P_n = \lambda^n \frac{I_n}{I} \qquad (3)$$

Отсюда нетрудно найти и среднее число рассеяний, приходящихся на один квант данного пучка. Оно равно

$$\bar{n} = \sum n p_n = \lambda \frac{\partial \log I}{\partial \lambda}. \tag{4.}$$

Точно также можно найти среднее квадратичное отклонение по формуле

$$\sigma^{2} = \overline{n(n-1)} + \overline{n} - \overline{n}^{2} = \frac{\lambda^{2}}{1} \frac{\partial^{2} I}{\partial \lambda^{2}} + \frac{\lambda \partial I}{1 \partial \lambda} - \frac{\lambda^{3}}{1^{2}} \left(\frac{\partial I}{\partial \lambda}\right)^{2}$$

$$= \left(\lambda^{2} \frac{\partial^{2}}{\partial \lambda^{2}} + \lambda \frac{\partial}{\partial \lambda}\right) \log I. \tag{5}$$

Формулы (4) и (5) остаются в силе и в тех случаях, когда речь идет о числе рассеяний квантов, идущих не в одном направлении, а в совокупности каких-либо направлений. При втом в формулы вместо в войдут сумма или интеграл от интенсивностей по ввятой совокупности направлений. Можно брать и взвешенные суммы.

В качестве примера возьмем один случай диффузного отражения света. На плоскую границу полубесконечной среды падвет излучение по всем направлениям. Пусть интенсивность падающих лучей в каждом направлении пропорциональна секансу угла падения. Индикатриса рассеяния во всей среде сферическая.

Нас интересует среднее число рассеяний, испытанных световыми

квантами, входящими в полный поток диффузно отраженных фотонов, независимо от угла выхода.

Если мы введем функцию отражения г (η , ξ) от косинусов ξ и η углов падения и отражения (1), то поскольку интенсивность света, падающего на границу в направлении ξ , будет $\frac{S}{\xi}$, где S постоянная, очевидно, что интенсивность света, отраженного в направлении η по определению г(η , ξ) равна

$$I(\eta) = 2S \int I(\eta, \xi) d\xi$$
 (6)

Полный поток отраженных фотонов, выходящих по всем направлениям, будет

$$H=2\int I(\eta)\eta d\eta = 4\pi S \int \int r(\eta,\xi) \frac{\eta}{\xi} d\eta d\xi. \tag{7}$$

Но при сферической индикатрисе рассеяния, как известно (%)

$$r(\eta, \xi) = \frac{\lambda}{4} \xi \frac{\varphi(\eta) \varphi(\xi)}{\eta + \frac{3}{4}}, \qquad (8)$$

где функция Ф(п) удовлетворяет функциональному уравнению:

$$\varphi(\eta) = 1 + \frac{\lambda}{2} \eta \varphi(\eta) \int \frac{\varphi(\xi)}{\eta + 3} d\xi. \tag{9.}$$

Внося (8) в (7), находим

$$H = \lambda \pi S \int \int \frac{\eta \varphi(\eta) \varphi(\xi)}{\eta + \xi} d\eta d\xi. \tag{10}$$

Складывая (10) с таким же интегралом, в котором переменные интегрирования и и даменены друг другом, получаем

$$2H = \lambda \pi S \left(\int \varphi(\eta) d\eta \right)^2 = \lambda \pi S A^2, \qquad (11)$$

где А интеграл в скобках.

Интегрирун обе стороны уравнения (9) в пределах от нуля до единицы и совершая такое же преобразование, находим

$$A = 1 + \frac{\lambda}{4} A^{3}. \tag{12}$$

Повтому

$$H = 2\pi S \frac{2-\lambda-2\sqrt{1-\lambda}}{\lambda} \tag{13}$$

Применяя формулу (4), мы найдем, что среднее число рассеяний, испытываемых квантами выходящего потока, равно

$$\frac{1}{n=\lambda} \frac{\partial \log H}{\partial \lambda} = \frac{1}{\sqrt{1-\lambda}} \tag{14}$$

Так, например, при $\lambda = 0.75$ имеем в среднем два расселния на один отраженный квант.

Однако, при $\lambda \to 1$ среднее число расселний стремится к бесконечности. Иными словами, при $\lambda = 1$ сумма (4) расходится, котя ряд (2) сходится.

Впрочем, бесконечное в среднем число рассеяний при $\lambda = 1$ получается только в процессе диффузного отражения при бесконечной оптической толщине чисто рассеивающего слоя. При конечной толщине п конечно.

Заметим, наконец, что в случае бесконечного слоя

$$\sigma^{3} = \frac{1}{2} \frac{\lambda}{(1-\lambda)^{3}/2}$$
 (15)

Примечательным является то, что формулы (8) и (9) были получены (1,2) путем исследования условий в бесконечно-тонком слое на границе среды. Результаты (14) и (15) основаны на втих формулах. Таким образом оказалось возможным получить данные о числе рассеяний при диффузии фотонов, не рассматривая вовсе процессов внутри среды.

В следующем номере настоящего журнала будет опубликована статья М. Тер-Микаеляна, где выведено значение п для различных случаев одномерной задачи рассеяния света. Автор се участвовал и в обсуждении настоящей работы.

Бюраканская Астрофизическая Обсерватория Авадемии Наук Армянской ССР Ереван, 1948, февраль.

L Z. ZUUPUPANHUSUL

Spannist practions phili mann appendentation de descripad

երկե ձկոտերութութու անուց հեուցրելե գիչեր երկն, երկ լագաց - յր (գ)-ե, տեմ հեսւջրեն աստորորել կովորն տանուց հեուցրելե գիչեր երկն, երկ լագաց - յր (գ)-ե, տեմ հեսւջրեն երարութուն անուցրել արդարութուն անուցրել երարութուն անուցրել երարութուն անուցրել երարութուն անուցրել երկար և երկար և երկար և երկար և երկար և արդարություն անուցրել անուցրել անուցրել անուցրել անուցրել անուցրել և արդարության և արդարություն և ա

dalla dendurg & oblaminaparalary, pat ala aplanta delation dendurant aplane delation dendurant appearance delations delations delations delations delations desirated desirated desirated desirated delations desirated desirated desirated delations delations delations delations delations delations delations dela delations dela delations del dela delations del del della del

ուղղություն անկյան տեկանոին, ղիֆֆուզ կերպով անդրադարձվող ֆոասններ կաղմից ապրած ուղղություններ ժիջին թիվը հայաստ է

$$\frac{1}{\sqrt{1-\lambda}}$$

Ընդհանրապես ժենք կարող ենք ինտենսիվությունը Մակլորենի շարջի վերածել ըստ λ -ի աստիճանների։ Այն ժամանակ եթե \mathbf{I}_{Π} -ը χ^{Π} -ի գործակիցն է, ապա հավանականությունը, որ ավյալ փնջի ժեջ ժանազ կվանտը ապրել է Π ցրուժ, արվուժ է (3)-ի ժիջոցով.

րություրը։

Նրլ արժետահանցվոմ քվարաի քանդին տանաց նեուորընի այս քազ այր ենկի չավարաքաՀաստատանցիրի իրարրոնվություրը։ Հրարանան՝ (Ձ)-ի չնղար վեա չջանավան բ դար սեսԳր դիասի սաչղարայիր անվարբեր սշուշարանինության իրակին է ստարան արժետմանցվոմ
Գր դիասի սաչղարային անությերի սշուշարանան համորին այս կազ այր ենկի չավարաքան արժամանական
Հրատենենին այր է՝ սե քույսի ենգար համորենիվ խրմենրորի պիրքը կիրչը վրենն կուցվուդ

Այսպիսով սաացվում է, որ մենք կարող ենք եզրակացություններ անել դիֆֆուզիայի ժամանակ կատարվող ցրուների թվի մասին, առանց միջավայրի ներսում անդի ունեցող երեույթների քննարկման։

Un topadept topades artendent to

AMTEPATYPA

1. В. А. Амбарцумян. ЖЭТФ, 13, 324, 1943. 2. В. А. Амбарцумян. ДАН СССР. 38, 257, 1943.



1948

3

ТЕРМОДИНАМИКА

Александр Анопян, действ. чл. АН Армяненой ССР

Об одном илассе физико-химических систем (Представлено 16 VIII 1947)

1. Обычно общие закономерности физической химии выражаются посредством неизмеримых величин, как, например, химический потенциал. Цель настоящей заметки—обратить внимание на большой класс гетерогенных систем с неодинаковыми на их части давлениями, свойства которых могут быть выражены посредством математически точных соотношений между легко измеримыми величинами: давлениями, плотностями и т. д.

Область применения полученных результатов весьма общирна, так как каждую гетерогенную систему, не принадлежащую упомянутому классу, можно рассматривать как часть некоторой системы этого класса.

2. Обовначим черев λ_r гетерогенную систему, на различные части которой действует г неодинаковых давлений; введем понятие "область изоляции компонента". Как было показано (1), вариантность систем λ_r

$$y = \sum_{i=1}^{c} k^{s} - \varphi + r + 1, \qquad (1.)$$

где с и ф—числа компонентов и фаз, а k⁶—число областей изоляции (¹) компонента A⁸.

Систему д,, удовлетворяющую условиям

$$\varphi = c+1$$
 $k^s = 1, s = 1, 2, ..., c$
(2)

назовем π_r^a . В этих системах $\sum_{k=0}^{c} k^s = c$ и их вариантность v=r.

Обычная моновариантная система является частным видом тр, когда г

3. Если F свободная энергия системы Ar, то в элементарном обратимом изотермическом процессе

$$dF = -\sum_{\rho=1}^{\infty} p_{\rho} dV_{\rho} ,$$

где V_р — объем той части системы, в которой давление равно р.

Каждая такая часть может состоять из нескольких фаз, например, если давление родинаково в фазах 1, 2, 3, объемы которых суть V₁, V₂, то

$$V_{p} = V_{1} + V_{2} + V_{3}$$

Очевидно, $\Phi = F + \sum_{\rho=2}^{\rho=1} \rho_{\rho} V_{\rho}$ тоже является функцией состояния; ввиду

этого при t = const

$$d\Phi = -p_1 dV_1 + V_3 dp_2 + \sum_{p=3}^{p=1} V_p dp_p$$

является полным диференциалом, и поэтому

$$\left(\frac{\partial p_1}{\partial p_2}\right)_{t, V_1, p_{2,r}} = -\left(\frac{\partial V_2}{\partial V_1}\right)_{t, p_{2,r}}.$$
 (4)

Индекс $p_{j,r}$, где j < r, означает постоянство всех давлений $p_j, p_{j+1} \dots p_r$,

В применении к системам т, (4) принимает вид

$$\left(\frac{\partial p_1}{\partial p_2}\right)_{t, p_{3,r}} = f(\delta),$$
 (5)

где f(o) — функция плотностей δ^s компонентов.

Чтобы получить (4) из (3), примем за независимые г следующих величин: t, p_2 , p_8 , ... p_r . Тогда по (2)

$$p_1 = \Psi(t, p_2, p_3, \dots, p_r), \qquad = \Psi(t, p_2, p_3, \dots, p_r).$$
 (6)

Согласно (6) р₁ вовсе не зависит от V и поэтому в левой части (4) индекс V может быть отброшен.

Кроме того $m_i = V_0$. Пусть, например, фазы $\alpha + 1$, $\alpha + 2$,

составляют одну из областей изоляции компонента A. По (6) при постоянных t, p_2 , p_3 , . . . p_r постоянны все плотности Поэтому—по определению "области изоляции" —

$$\begin{array}{ccc}
i = \beta & i = \beta \\
\Sigma & \text{diff} = \Sigma \delta_i & \text{dV}, \\
i = \alpha + 1 & i = \alpha + 1
\end{array} \tag{7}$$

На основании (2) мы получим с равенств (7), содержащих с+1 диференциалов dV₁. Отсюда следует справедливость уравнений

$$dV_1 = D_1 dV_2, \tag{8}$$

гле D - функция плотностей о компонентов.

Поэтому, если, например, $V_1 = v_1 + v_{p_2} + \dots + v_{p_3} + \dots + v_{s_1} + v_{s_2} + \dots$

(4), (6) и (9) приводят к (5).

Вид функции f(δ) определяется характером системы τ.

4. Двуфазная система чистого вещества с неодинаковыми давлениями р₁ и р₂ на фазы 1 и 2 является наипростейшей из тех, к которым применима (5). В этом случае (7) напишется так

$$\delta_1 V_1 + \delta_2 V_2$$

и отсюда — формула Пойнтинга

$$\left(\frac{\partial p_1}{\partial p_2}\right)_t = +\frac{\delta_1}{\delta_2} \tag{10}$$

или, предполагая, что $p_1 - p_2 \equiv \pi$,

$$\left(\frac{\partial p_2}{\partial \pi}\right)_t = \frac{\delta_2}{\delta_1 - \delta_2}. \tag{11.}$$

Не останавливаясь на формулах (10), (11), выведем аналогичные зависимости для ящика вант-Гоффа—системы τ_r , в которой компоненты A^1 , . . . А образуют c+1 фаз E_1 , E_2 . E_c . E_c . Е, причем E представляет смесь этих компонентов, каждая же из фаз E_s содержит только компонент A^s ($s=1,2,\ldots c$), и отделена от E полупроницаемой диафрагмой, пропускающей A^s . Агрегатные состояния фаз вполне произвольны. Давления в фазах F_1 E суть соответственно p_1 , p_2 , . . . , p_s Величины без нижнего индекса относятся к фазе E, например, δ^s и δ_s суть плотности A^s в фазах E и E_s .

Помня, что А^s содержится только в Е и Е_s, легко получим

$$\left(\frac{\partial p_s}{\partial p}\right)_{t, p_{.1s-1}} p_{s+1,c} = \frac{\delta_s^s}{\delta^s}$$
 (12)

$$\left(\frac{\partial p_{s}}{\partial p_{k}}\right)_{t}$$
, $p_{1,k-1}$, $p_{k-1,s-1}$, $p_{s+1,r} = -\frac{\delta_{s}^{s} \delta_{k}^{k}}{\delta_{s}^{s} \delta_{k}^{k}}$. (13)

По виду (12) не отличается от формулы Пойнтинга (10). Но (12) общее (10). Действительно в (10) система предполагается однокомпонентной, а фазы—в различных агрегатных состояниях; в (12) же фаза E_* образована компонентом A^* , фаза E—смесь компонентов A^* , A^2 , . . . A^c , а агрегатные состояния фаз могут быть любыми.

Зависимостей, сходных с (12), известно несколько. Например, формула Плавка (2), которую — для придания большого сходства с (12)—

Здесь р₁ и р₂—давления на растворитель и раствор, которые оба в жидком состоянии и отделены друг от друга полупроницаемой диа-

фрагмой; m^1 -масса растворителя в растворе, а $\begin{pmatrix} \partial m_2 \\ \partial V_3 \end{pmatrix}$, р. — парциаль-

ная плотность растворителя в растворе, вообще не равная плотности

 $\delta_2^1 = \frac{m^4}{V_2}$. Наличие "парциальной плотности" взамен плотности δ_2^1 и от-

личает в основном формулу Планка от (12). Это отличие неизбежно, так как система, рассматриваемая Планком, не является системой т_г.

Из (12) и (13) вытекают важные качественные результаты: При изотермическом изменении давления на однокомпонентную фазу давление на другую фазу, образованную этим же компоненфиром том в другом агрегатном состоянии, или являющуюся смесью, содержащей этот компонент, изменяется в том же направлении, если давления на все остальные однокомпонентные фазы системы Тр постоянны.

Если в системах τ_r изменяются только давления на две однокомпонентные фазы (E_s и E_k), а температура и все другие давле-(13.) ния постоянны, то изменения давлений (ρ_r и ρ_r .) должны быть разных знаков.

В случае, если в ящике вант-Гоффа смесь (фаза E) и компонент A (фаза E_s) находятся в одном и том же агрегатном состоянии, то разность

$$p-p_s \equiv \pi_s$$

есть осмотическое давление смеси, отделенной от Ав полупроницаемой диафрагмой, пропускающей только Ав. Из (12) находим

$$\left(\frac{\partial \pi_s}{\partial p_s}\right)_{t, p_{1,s-1}, p_{s+1,c}} = \frac{\delta^s - \delta^s}{\delta^s_s}$$
 (14)

$$\left(\frac{\partial \pi_{i}}{\partial p}\right)_{t, p_{i,c}} = \frac{\delta^{3} - \delta^{3}_{i}}{\delta^{6}} \tag{15}$$

(14) и (15) означают, что знак производной осмотического давления по давлению на компонент А⁵ совпадает со знаком производной осмотического давления на смесь.

(12.) и (13) имеют и различные другие применения, которые будут приведены в другом месте.

5. Вернемся к функции
$$\Phi = F + \sum p_{\rho} V_{\rho}$$
, введонной в 3. $\rho \Rightarrow \epsilon$

Если гемпература непостоянна, то

$$d\Phi = -Sdt - P_1 dV_1 + \sum_{p=2}^{\infty} V_p dp_p \quad (S-shtpoung).$$

Пользуясь тем, что dФ-полный диференциал, находим

$$\left(\frac{\partial S}{\partial V_1}\right)_{t, p_{3,r}} = \left(\frac{\partial p_1}{\partial t}\right)_{p_{2,r}} \tag{16}$$

в правой части (16.), как и в формуле (5) отброшен индекс V_1 , согласно (6).

Умножив обе части на dV_1 и интегрируя при постоянных t и P_1, \dots, P_r , получим

 $\Delta S = \left(\frac{\partial p_1}{\partial t}\right) \Delta V_1$

ИЛИ

$$L_{p_{1,r}} = T \left(\frac{\partial p_1}{\partial t} \right) \Delta V_1, \tag{17}$$

где $L_{p_1,r}$ —скрытая теплота процесса, приведшего—при постоянной температуре и постоянстве всех давлений—к приращению ΔV_1 объема той части, давление на которую равно p_r

. Легко убедиться, что (17) является обобщением формулы Клапейрона $L = T\Delta V \frac{dp}{dt}$, справедливой только для моновариантных систем (λ_1 или τ_1). Действительно, в системах λ_1 только одно давление, поэтому $\Delta V_1 = \Delta V$, $\binom{dp_1}{dt}_{p_2} = \frac{dp}{dt}$, и, следовательно, обе зависимости совпадают.

(17) является также обобщением формулы

выведенной Льюисом (3) для однокомпонентных двуфазных систем е неодинаковыми давлениями на фазы. В (18) V_1 означает удельный объем фазы, находящейся под давлением p_1 , а Lp_2 скрытую теплоту перехода единицы массы из фазы 2 в фазу 1.

Формула Washburn'a (4), внешне сходная с (17), отличается от нее по существу, так как относится к системам, не принадлежащим к классу т.

6. (5) и (17) выражают общие, наиболее характерные свойства систем τ_r ; вид функции $f(\delta)$, входящей в (5), здесь установлен для простейших представителей класса τ_r . (5) и ее частные случаи, когда вид функции $f(\delta)$ известен, имеют весьма существенные применения в теории растворов (законы взаимности при растворении), теории бинарных систем и теории адсорбции (законы совместной адсорбции).

Сектор математики и межаники Академии Наук Армянской ССР Ереван, 1947, июмь.

Shakha-thalkada shashalbrh ah saak amake

Այս աշխատության մեջ հ<mark>այանարերված և ապացուցված է է սիստեների հինևա-</mark> կան հատկությունը՝

չաստատուն չերժասաիճանի դեպքուժ արեէ երկու անկավասար գրմութրբեն քապը

(1) apmadmang ubusquen ? Amaphara fuquappanaphanaph pmur Bimahi

արտանայաությունը, որի մասնավոր դեպքերն են հրապեյրոնի և Լյուիսի առընչու-- Հյունսի առընչու-Հյունները։

րացված») արկղի համարս «Իսցը արտածված է միկոմպո<mark>սնետանի հրկֆազ աիստեմների և վածա-Հոֆֆի («ընդհա</mark>նարսցը արտածված է միկոմպո<mark>սնետանի հրկֆազ աիստեմների և վածա-Հոֆֆի («ընդհա</mark>ն-

ANTEPATYPA

1. Алексанор Акопян. ДАН Арм. ССР. 7, № 2, 1947. 2. М. Planck. Zs. s. phys. Chemie, 42, 594—590, 1903. 3. G. N. Lewis. Zs. s. phys. Chemie, 38, 205, 1901. 4. E. Washburn. Zs. s. phys. Chemie, 74, 885, формула 24, 1910.

-OTCOM AND MAINTING OF THE PROPERTY OF THE PROPERTY OF THE PROPERTY OF THE PARTY OF

THE REAL PROPERTY OF THE PROPERTY OF THE PROPERTY OF THE PARTY OF THE

THE RESIDENCE OF THE PROPERTY AND PERSONS AND THE PROPERTY OF THE PROPERTY OF

SOURCE TO LANCE IN COLUMN TO LANCE IN COLUMN THE PROPERTY OF THE PARTY OF THE PARTY

THE PARTY OF THE PARTY OF THE PROPERTY OF THE PARTY OF TH

TO REPORT OF STREET OF STREET OF STREET STREET, STREET STREET STREET, STREET,

PARTICULAR PROPERTY AND PROPERTY AND PROPERTY AND PERSONS AND PARTICULAR PROPERTY PARTICULAR PROPERTY

THE PROPERTY OF THE PROPERTY OF THE PARTY OF

ALTERNATION OF THE PROPERTY OF THE PERSON OF

PRINCIPAL THE RESIDENCE AND A STREET THE PROPERTY OF THE PROPERTY OF THE PARTY OF T

TO THE PARTY OF TH

THE REAL PROPERTY OF THE PARTY OF

HARRY - TOWN - ARREST &C.

All

1948

77.

ТЕОРИЯ СООРУЖЕНИЯ

B. A. CTODANSE

Носледование мормального сцепления раствора с мамием (Представлено А. Г. Назаровым 4 III 1848)

Известные нам экспериментальные исследования по сцеплению раствора со штучным элементом кладки относятся, в основном, к кирпичной кладке и преимущественно к случаю горизонтального расположения шва. Таковы работы Ал. Конорова (1), Н. А. Попова (1), Л. И. Онищика (1), Feret (1), Trainor (1), Palmer and Parsons (1) и др.

В связи с вопросами сейсмостойкости каменной кладки, небольшое количество экспериментов по сцеплению раствора с артикским туфом осуществлено А. Л. Чураяном (7).

Суждения исследователей относительно сцепления раствора с камнем (кирпичом) в вертикальных швах носят либо умозрительный характер, либо же основываются на косвенных вкспериментальных данвых (3,8,6). Господствует мнение, что в кладке, вследствие усадки раствора, сцепление в вертикальном шве значительно ослабляется или даже нарушается, потому и в расчетах его не рекомендуют учитывать. В горизонтальных же швах при усадке раствора в процессе его твердения, происходит непрерывная осадка кладки, потому сцепление в швах не нарушается, а непрерывно нарастает (8).

Мнения различных исследователей расходятся в вопросе влияния влажности камня и консистенции раствора на величину сцепления. Нами осуществлено экспериментальное изучение сцепления раствора с пятью видами наиболее распространенных на строительстве Армянской ССР камней (вулканический туф, артикская туфовая лава, фельзитовый туф, базальт и гранит) с целью установления зависимости нормального сцепления от породы камня, от способа выполнения, толщины и расположения шва, режима твердения, обработки поверхности камня, консистенции и состава раствора и, наконец, от объемных наменений раствора.

Для проведения указанных экспериментов автором разработана методика и сконструированы специальные приспособления, позволяющие производить исследования прочности вормального сцепления и деформации раствора в образце, с момента заполнения шва. Описание

1-311- 1-837/42 2

и анализ исследования будут опубликованы в другом месте. Здесь же приводим только общие выводы.

- 1. Ведущими факторами нормального сцепления раствора с камнем являются физико-механические, химические и структурные свойства штучного камня и раствора, рассматриваемые в их взаимной связи.
- 2. Молекулярные взаимодействия в сечении контакта, между твердой фазой штучного элемента—камня и жидкой фазой раствора, в виде
 адсорбционных сил, сопровождаемых химическими процессами схватывания, совместно со свойством высокой ползучести раствора до раннего периода затвердения являются основными факторами, обеспечивающими сцепление раствора с камнем в вертикальном шве.
- 3. Вакуум, могущий возникнуть в растворе, является вспомогательным фактором, способствующим обеспечению сцепления в вертикальном шве до раннего периода затвердевания.
- 4. Прочность сцепления раствора с камнем, обусловленная в раинем возрасте вышеуказанными факторами (п. п. 1, 2, 3) со временем возрастает в основном вследствие химических процессов в сечении контакта между вяжущим раствора с кремнеземом и глиноземом, содержащимися в большом количестве в естественных камнях (базальт, гранит, артикская туфовая лава, вулканический туф и др.). Срастаясь в сечении контакта, химические новообравования связывают штучные влементы кладки с раствором, благодаря чему кладка превращается в монолит.
- 5. Сцепление раствора с камнем не находится в какой либо прямой зависимости от объемного веса и пористости штучного влемента.
- 6. Консистенция раствора является одним из важнейших факторов сцепления раствора с камнем. Оптимальная консистенция зависит, в основном, от структурных свойств камня и, первым долгом, от интенсивности его водопоглощения.

При наличии высокой интенсивности водопоглощения, для обеспечения первоначального сцепления величина оптимального вяжущеводного фактора может превышать более чем на $100^{\circ}/_{\circ}$ таковую, необходимую для получения наибольшей механической прочности раствора на сжатие или на растяжение. Для вертикальных швов при наличии штучного элемента с высокой интенсивностью водопоглощения, необходимо переходить на заполнение шва раствором под заливку (погружение конуса СтройЦНИЛ'а на 13 см и более).

7. Наличие большого количества воды в растворе придает последнему меньшую вязкость и делает его более подвижным в момент укладки, и тем самым сила первоначального сцепления между частицами камня и раствора получается большей величины, чем внутреннее сцепление между частицами самого раствора. Этим обеспечивается движение раствора от середины к поверхностям контакта. При этом, благодаря быстро развивающейся абсорбции, вместе с жидкой фазой раствора вовлекаются в поры и углубления в камня также и частицы вяжущего, которые, заполняя все шероховатости поверхности камня, срастаются с ним и совдают естественный зубчатый контакт, плошадь сцепления ноторого намного превышает площадь контакта по геометрическим равмерам. Приставший к поверхности камня первый слой раствора уплотняясь силами адсорбции, сам превращается в капиллярную систему и привлекает новый слой раствора. Этот процесс продолжается до тех пор, пока весь раствор, буквально за несколько минут, превращается в плотное тело, прижатое силами адсорбции между опорными контактами камня. Весь этот процесс сопровождается сближением камней друг к другу (при их несильном закреплении) и ползучестью раствора (при неподвижных камнях). В условиях обычной кладки оба, явления имеют место одновременно.

Сопротивление сил трения, при микроперемещениях штучного элемента по основанию, небольшое, его можно выразить формулой

T = cfN,

где 1 — ковфициент трения при предельном равновесии, постоянный при данных условиях.

с — правильная дробь, приближающаяся к единице в момент нарушения равновесия.

- 8. При недостаточном количестве воды и при сильно водопоглощающих камнях, как только раствор вступает в соприкосновение с поверхностными, выступающими точками камня, возникающая абсорбция
 в точках соприкасания обезвоживает слой малоподвижного, вязкого
 раствора, обладающего большим внутренним сцеплением, тем самым
 частицы раствора не успевают войти в углубления шероховатой поверхности штучного влемента (такие шероховатости имеются на поверхностях строительных камней при любом виде их обработки) эти углубления не заполняются раствором, таким образом, получается сцепление не по всей поверхности контакта, а только по выступающим точкам. Сцепление это затем легко нарушается, вследствие различия в
 деформациях камня и раствора, при продолжающихся объемных изменениях последнего.
- 9. Наиболее опасным в смысле нарушения прочности шва является усадка раствора в направлении параллельной плоскости контакта, так как при этом вследствие различия деформационных спойств раствора и штучного элемента, возможно некоторое нарастание тангенциальных напряжений, в особенности, при менее пластичных, чистых цементных расворах.

Нарастание внутренних напряжений может привести к нарушению шва в следующих случаях:

- а) в случае первоначального сцепления раствора не по всей поверхности контакта, о чем подробно было изложено в п. 8;
- б) при наличии низкой прочности камня или когда прочность его ослаблена воздействием раствора и первым долгом воды, для водоне устойчивых камней (например, фельзитовый туф) Нарушение шва в этом случае происходит в виде отслоения тонкого слоя камня;

в) при низкой прочности раствора, или когда раствор при данных влажностных условиях теряет прочность (например, при твердении воздушных вяжущих во влажной среде, или некоторых гидравлических вяжущих. как, например, известково-пуццелановые вяжущие при сухом режиме твердения).

Обработка поверхности камня в контакте грубой околкой, имеющее место в облицовочной кладке, имеет преимущество перед обработкой этой поверхности под чистую теску в смысле сопротивления внутренним тангенциальным напряжениям. Однако, такое преимущество имеет место только при оптимальной консистенции раствора, в особенности, для сильно водопоглощающих камней, при сухой укладке их.

Для тонких вертикальных швов получистая или чистая теска поверхности обеспечивают равномерность толщины и уплотнения шва, что положительно отражается на прочности сцепления раствора с камнем.

10. Лучшими растворами для обеспечения высокого и долговечного сцепления каменной кладки являются сложные цементно-известковые растворы, преимущество которых перед цементными растворами заключается в их большей деформативности, пластичности, а также малой усадки после раннего затвердения. По сравнению же с известковыми растворами, сложные растворы обеспечивают быстрое развитие первоначальной прочности сцепления и прочности самого раствора, необходимой для современного строительства, когда кладка возводится более высокими темпами.

Сложные растворы обладают высокими водоудерживающими свойствами по сравнению с цементными. Однако, фактор водоудерживающей способности, единодушно подчеркиваемый и другими авторами. имеет серьезное значение для горизонтальных швов, где вследствие обезвоживания на пористом штучном элементе, верхняя поверхность раствора теряет пластичность до установки вышележащего камня и, тем самым, получается низкое сцепление с вышележащим камнем и то не по всей поверхности.

11. При подборе соответствующей консистенции раствора прочность сцепления в вертикальном шве можно получить намного большей величины, чем в горизонтальном шве.

Основные причины к эгому служат:

- а.) одновременное симметричное действие абсорбции по обеим поверхностям контакта с раствором;
- б) однородность плотности вертикального шва, где менее всего влияние неравномерного уплотнения и неравномерного выравнивания (рука каменщика).

Вследствие одновременного симметричного действия капиллярного отсоса на обеих поверхностях контакта, обезвоживание раствора шва, при наличии даже сильно абсорбирующих камней, не опасно даже для слабо водоудерживающих чисто-цементных растворов. Отсасываемая из раствора вода, накопляясь в ближайших к контакту порах камня, до ее окончательного испарения, питает раствор необходимой влагой,

THE RESIDENCE OF THE PROPERTY OF THE PARTY OF THE PARTY.

для его дальнейшей гидратации и упрочнения, пока вследствие испарения с поверхностей менисков, последние, мигрируя, доходят до контакта. За все это время, продолжающееся в зависимости от структуры камия, от 7 дней до одного месяца, уплотненный вначале укладки раствор развивает свою механическую прочность и прочность на сцепление, при отсутствии усадки, в спокойной обстановке, в условиях почти полного отсутствия внутренних напряжений.

Приобретенная за это время высокая прочность сцепления обеспечивает монолитность кладки при условии, если сцепление имеет место по всей поверхности камня. Развивающиеся после этого внутренние напряжения не могут нарушить сцепление шва.

12. Объемные изменения раствора, твердеющего в контакте с камнями, следует рассматривать совместно со штучными элементами. Характер объемных изменений раствора сильно отличается для различных камней как по величине, так и по закону их изменения во времени. В зависимости от структурных свойств камня, эти деформации во времени имеют совершенно четкую закономерность для каждой породы камия. По мере схватывания и твердения раствора сцепление его с камнем нарастает и кладка превращается в единое псевдотвердое тело, в котором при неподвижности камня ползет раствор, разряжая при этом внутренние напряжения, а при более свободно перемещающихся камнях, микроперемещения их протекают совместно с деформациями раствора. Камень следует за раствором. Процесс этот начинается с момента заливки.

13. Для камней легких пород, туфов и кирпичей, при оптимальной консистенции раствора прочность сцепления в вертикальном шве со сложными растворами марки 15-30 в месячном возрасте может даже превышать прочность сцепления между частицами самого камня или раствора Сцепление раствора с абсорбирующими камнями очень часто превышает сцепление между частицами цементного раствора марки 80 и выше.

14. Образованный на не абсорбирующей поверхности камня (в каменной кладке) и заполнителях (в растворе и в бетоне), водяной слой, содержащий растворимую известь щелочи и др. частиц, является одной из основных причин низкой прочности сцепления, влияющей на общую механическую прочность раствора и бетонов. Удаление этой воды из раствора путем абсорбирования (капиллярным отсосом камня) или вакуумирования, до начала схватывания вяжущего, ускоряет процесс схватывания и сильно увеличивает прочность сцепления вяжущего с камнем.

Фактор этот, совместно с общим уплотнением, вследствие внутренних адсорбционных сил, сильно повышает начальную прочность сцепления и этим самым общую механическую прочность раствора и бетона.

Сцепление раствора с камнем достигает максимальной величины в том случае, когда за все время схватывания вяжущего, до начала твердения, миграция воды направлена от раствора к камню, притом с максимальным удалением свободной и полусвяванной воды.

15. Удаленная из раствора вода в каменной кладке накопляется в порах у контакта, питая раствор необходимой влагой, поддерживает продолжение гидратации вяжущего и, следовательно, нормальный рост упрочнения раствора. Это не имеет место для абсорбированного раствора вне кладки и в вакуум-бетоне.

Рост прочности их быстро затухает при воздушном хранении вследствие интенсивного испарения и недостатка влаги для продолжения процесса гидратации вяжущего.

Наоборот, влажное хранение (в первый месяц) абсорбированного раствора или вакуум-бетона, сильно повышает их прочность.

- 16. Штучный элемент и раствор в отдельности могут обладать высокой механической прочностью, однако, прочность кладки определяемая также сцеплением, может оказаться весьма низкой. Поэтому, дальнейшее развитие исследования каменной кладки должно итти по определению ее прочности в зависимости не только от механической прочности камня и раствора, а также от прочности их сцепления; последнее является более обобщенным показателем совместной работы камня и раствора.
- 17. При высоком первоначальном сцеплении каменная кладка превращается в монолит и может существовать весьма продолжительно. Однако, каменная кладка в своей жизни может подвергаться и кривисам в виде ударов, толчков и воздействия импульсивных сейсмических сил, вибрации от машин в промсооружениях и т. д. Такие воздействия нарушают спокойную жизнь кладки, но и в этих случаях обладающая высоким сцеплением монолитная кладка в грамотно сконструированном здании может выдержать серьезные испытания.

Зная основные факторы, влияющие на сцепление раствора с камнем, путем правильного их регулирования, можно достигнуть высокой прочности каменной кладки и бетола, без излишней затраты дефицитного вяжущего цемента.

Изучение влияния минералогического состава вяжущего на структуру, деформативность и прочность раствора и бетона, проводимое советскими учеными А. Е. Шейкиным и А. В. Саталкиным совместно с изучением роли сцепления раствора с заполнителем в зависимости от его природы, безусловно открывает дальнейшую перспективу развития советской науки о бетоне и каменной кладке. Необходимым условием для этого является рассмотрение явлений, обусловливающих прочность бетона и кладки во времени, во взаимной связи между собой и окружающей средой, выявления единства противоположностей в процессе схватывания и твердения вяжущего в контакте с камнем.

Институт строительных материалов и сооружений Академин Наук Ариянской ССР Ереван, 1948, февраль.

contains and teach guarges amidentains appearables

արույլ ը կանամ է չավաստեղըն ձրևսյի։

Ար Հրոնըիվ Համախի իցնղար, ընտ ը ծանի Համիտակար աղևություրն ոտանվուց է Հատ
փահարքրիկ Համիտակարն։ Աւմմացիժ կտետրրբենի ընտաղաղե ձրետիշասող է այբ իտեցիծն՝
մարհատիս կրևաերեսող թը տմեսոսի Հանվացերը՝ նստ սնուց մերավսնամբո չսենմարին մրևաՀամախի ց ծանի Համիտակար ընտաղաղե կատանվար չրատմասություրըն մրևա-

փոփոխությունները։

դար արգիդին, ճանի դավրեսունին Վանորութ բանությունները ը՝ վենչատեր՝ Համախի դարադար արգիդին, ճանի դավրեսության մանախի քարորանին ը՝ վերչատեր, չամախի բավանայիր

ը ճանի շամիտակար աղևությար քանարի քարորանին ը՝ վերչատեր՝ չամախի բավանայիր

շրվիրություններ՝ ին ասաչաերին։

վահան քատրանատույը մանցաչորընին դրքն։

հատ հատ քատանա աշատությասինան ընցանճաւոլ՝ անանը այս աղևաշելաւը առայորատ հաշ հյար ջամվատար հաշատությութը։ Հրևչուղ, բյասություն է շամաթի բ ծանի շակաանար ապեսությար ապարարական իրագր շասություրը։ Հրևչուղ բշվաց է շամաթի բ ծանի շակաանար ապեսություրը առայորարական ընտերութը։ Հրևչուղ բշվաց է շամաթի բ ծանի շակաանար ապեսություրը առայորարական ընտերը չարեցանը առանան է շամաթի բ ծանի շակաանար ապեսություրը առայորարական արջասություրը առանան է շամաթի բ ծանի շակաանար ապապեսություրը առայություրը։ Հրևչուղ բշվաց է շամաթի բ ծանի շանքանարարացար ապեսություրը առայությունը առանաանարանանարանարարարանարացարան ապեսություրը առայությունը առայությությունը առայությունը առ

ANTEPATYPA

- 1. Александр Коноров. Растворы для кладки стен. Госстройиздат, 1935. 2. А. Н. Попов. Смешавные растворы для каменной кладки. Мосьва, 1939.
- 3. Л. И. Онищик. Прочность и устойчивость каменных конструкций. ОНТИ, 1937.
- 4. R. Feret. Технология строительных вяжущих материалов. С.-Петербург, 1902.
- 5. S. Ler. Trainor. The Bulletin of the American Ceramic Society. Vol. 16, M 11, 1937.
- 6. L. A. Palmer a. D. A. Parson. Bureau of Standards Journal of Research, Vol. 12, May, 1934. 7. А. Л. Чураян. Тр. Бюро Ангисенсмич. строительства АН Грузинской ССР. Тбилиси, 1946. 8. Л. И. Онищик. Каменные конструкции. Стройиздат, 1939.



VIII

1948

3

ГИДРОЭНЕРГЕТИКА

С. Я. Вартаваров

Выбор скем ледоващитных мероприятий для деривационных гидростанций

(Представлено И. В. Егиазаровым 19 I 1948)

При проектировании гидростанций возникает вопрос оценки возможных ледовых затруднений и выбора ледозащитных мероприятий.

Автором, в Водно Энергетическом институте Академии Наук Армянской ССР, проработаны некоторые рекомендации в этом направлении, излагаемые ниже. Целью проработки, основанной на опыте эксплоатаций Закавказских ГЭС и литературных данных, является установление объективного метода такого выбора.

1. Характеристика ледовых затруднений. Как показало изучение материалов по ледовым затруднениям на деривационных ГЭС, расположенных в горных условиях, факторами, определяющими интенсивность затруднений являются: суровость зимнего периода (сумма отрицательных среднесуточных температур за зиму), шугоносность реки (число дней в году с ходом шуги), метелевая деятельность в районе ГЭС (число дней с метелью) и толщина ледяного покрова.

Для выяснения влияния этих элементов на работу станции, введено понятие "фактора ледоопасности" у который является суммой баллов, оценивающих каждый из элементов. Сумма баллов умножается на коэфициент в, характеризующий значимость затруднений для ГЭС в зависимости от ее мощности.

Для определения ковфициента ф, для каждого явления устанавливается максимальное его значение, оцениваемое баллом 10, а именно:

сумма отрицательных среднесуточных температур Σ (-T) = 1000 гра-

дусосуток (k—число дней с моровом), шугоносность—n=60 дней, число метелей—m=20 дней и толщина льда— $\delta=70\,\mathrm{cm}$ (1).

Корфициент 3 намечен в пределах:

для мелких ГЭС -0.8 для средних ГЭС -1.0 для крупных ГЭС -1.5

Предлагается ввести четыре категории ледоопасности в зависи мости от величины $\varphi = f \times (сумма, баллов)$:

Таблица	- 1
JUUNUUU	Z.

ж.» п. п.	Характер затруднений	Фактор ле- доопасности	Категория
1	Минимальные, случайного ка-		
	рактера	5	I
2	Незначительные	5-15	П
3	Средние	15-25	III
4	Значительные	25-40	IV

- 2. Рекомендуемые ледозащитные мероприятия. Условия зимней эксплоатации деривационных ГЭС показывают, что применяемые ледозащитные мероприятия удобно объединить в следующие пять групп:
- а. Аккумулирование шуги и льда в верхнем бьефе. Псступающие из реки массы шуги, льда и снега задерживаются в бьефе или на кромке льда, образовавшегося на его поверхности, или искусственными мероприятиями—постановкой пловучих запаней, бон или мостиков.
- б. Сброс льда и шуги из верхнего бьефа плотины в нижний. Этот метод, при всей простоте и заманчивости, применяет ся как крайняя мера для ликвидации аварийного состояния у входа в водоприемник и при наличии существенного избытка воды в реке над расходами деривации.
- в. Сброс шуги и льда из деривации. Наиболее употребляемый способ, при котором массы льда удаляются шугосбросами
 различной конструкции, расположенными на напорном бассейне или на
 деривации в непосредственной близости от силового узла.
- г. Транзитный режим. Эффективный прием, при котором обеспечивается беспрепятственный пропуск шуги по гидросооружениям и частичный пропуск через трубопроводы и турбины. Часть шуги, которая не может быть пропущена через турбины, а также поверхностный лед, удаляются из деривации или напорного бассейна шугосбросами (2).
- д. Комплексный режим. При сложных ледовых условиях, режимные схемы комбинируются для получения наиболее эффективного решения. Наиболее употребительными являются сочетания аккумулирования шуги в бъефе, пропуска через турбины и сброса из деривации

В таблице 2 приведены рекомендуемые схемы ледозащиты в зависимости от мощности станции, характера регулирования и категории ледоопасности.

В таблице 3 дан расчет категорий ледоопасности для ряда Закавказских ГЭС и приведены применяемые приемы борьбы со льдом. Для сравне-

		- 4		1 - 4				Режимы					
BREKC	Класс и мощность гидростапция	BACKC	Характер суточного регулирования	пдекс	Обеспеченность расхода		С рос на плотине	Сброс на деривации		ный режим			
Z		Z		Z		a.	6.	B.	r.	E.			
1	2	1 3	4	5	6	1 7	8	9	10	11			
1	Мелкие до 250 квм	A	Без регулирования	(1)	Q реки < Q дер.			11-IV 11-111		IV			
2	Малые от 250 до 2500 квт	A		(1)	. < .			11-111	11-111	IV			
3	Сревние от 2500 до 90000 квт	A		(1)	. < .	-		11-111	11-111	III a IV			
		Б	Регулирование дери-	(1)	. < .			111-111	11-111	III a fV			
		Г	Регулирование лерива-	(1) (2)	. < .		111	11-111	11-111 H-111	III H IV			
4		A	Без регулирования	(1) (2)	. < .	III	IIF	11-111	11-III II - III	III a IV			
	Крупные свыше 30000 квт	Б	Регулирование дери-	(2)	. > "	III	-	11-111	11-111	III m IV			
		В	Регулирование дерива-	(1)	. < "		111	H-III		III R IV			
		Г	Регулирование деривац верхи. бъефом и басс. сут. рег.	(1)	- < "	III	111	II—III		III m IV			

^{1.} Комплексный режим (гр. 11) складывается из приведенных в гр. 7—10.

^{2.} Римские цифры-категории ледоопасности по табл. 1.

				5 7 1	Фак	ТИ	чес	KH	e pe	жи	M H A	едоз	ащит	M		Таблици 3
		Тивростанции Тивростанции	У (—3)	емпе-	сност		C.A.	a B	дня	В	Суммарная	Кээфи-	фактор ле- доопасно- сти ф	Категория ледоопасно- сти (табл.1)	Индекс ледоза- щитных меро- приятий (по таб- лице 2)	Примечаняе
1	11	2	3 1	4	5	6	7	8	9	10	11	12	13	14	15	16
	1	rac x 1	520	5	15		25	4	15	7		1,5	28	IV	-4-Γ-2 -6+-B+Д 4-B-1	Редкие, по серьезнае
	2	ГЭС № 2	40	1	15	3	5	1	5	3	8	1,5	12	- 11	B	затр. от снега и шуги.
	3	гэс ж	50	1	20	4	15	2	10	5	. 12	1,5	18	7111	4-B-1 B+B+a	
	4	rac ne 4	416	4	10	2	25	4	10	5	15	1,5	22	III	4-1-1	Рактич. станция отно- сит. ко II кат
	5	ГЭС № 5	330	3	15	3	25	4	10	5	15	1	15	11	3-A-2 -6+B+A	
	6	ΓЭС № 6	920	9	50	8	50	7	20	10	35	1	35	IV	3-6-1	
	7	гэс ж т	430	4	40	8	30	5	20	10	27	1	27	IV	в+г+в 3-Д-1 6+в+г 2-Б-1	
	8	13C № 8	205	2	20	4	20	3	10	5.	14	0,8	12	И	6+B	100
	9	ГЭС № 9	740	7	35	6	50	7	20	10	30	0,8	24	111	1-A-1	
1		ГЭС N 10	440	4	75	10	30	4	12	6	24	0,8	20	111	1-A-1	
1	1	ГЭС № 11	820	8	20	4	40	7	20	10	29	1,5	40	IV	6+B 4-A-2 6+B+A	С учетом схемы ГЭС приним. по III кат.
	2	ГЭС Ж 12	350	4	80	5	30	5	19	5	19	1,5	30	IV	4-A-1 a+B+r+n	Проект

1. В таблице даны округленные пифры. 2. Панные для Σ(—т)—средне многолетние. 3. Остальные данные экстремальные.
4. Указанные в знаменателе индекса (гр. 16) режимы применяются одновременно или порозны.

ния дан выбор схемы ледозащиты для проектируемых ГЭС № 11 (Арм. ССР) и ГЭС № 12 (Груз. ССР). Причем для ГЭС № 11, ввиду наличия водохранилища и в основном закрытой деривации, категория ледоопасности может быть снижена до III.

При пользовании этой таблицей необходимо введение некоторых коррективов, в зависимости от особенностей схемы ГЭС, как это и сделано для ГЭС № 11.

В настоящее время в Водно-Энергетическом Институте Академии Наук Армянской ССР ведется дальнейшая разработка и развитие изложенных рекомендаций.

Водно-Эвергетический Ивститут Академии Наук Армянской ССР Ереван, 1947, декабрь.

U. SU. LUPTURUPNY

Umagaupasapalarpjub միջոցառումների սխեմայի ընտումբ դերիվացիոն հիդրոկայանների համար

ղիչնոնատուդյարնը։ Հրահավոն ուսանայիք մգմաևությունյուրդորն բ չազատատանատ գարություն իրաւդ մջաչատր Հիժեո-Էնրիահականագարան գարագարան՝ արչետարանակար

Lundudard supungedury to the their famile mangungedud de laguant Shape:

գարը։

Հիդրո-էլեկարոկայաններ ձժեռային շահադործումը բնորոշվուժ է հետևյալ դությունը, որը հանրիի ձուատրության ասաիճանը որոշելու համար, ընդունված է «սառըավտանգի դործոն» հասկացոատրության ասաիճանը որոշելու համար, ընդունված է «սառըավտանգի դործոն» հասկացոությունը, որը հանդիսանում է աժեն ժի պայմանին համապատասխանող բալնրի պու
Հիդրո-էլեկարոկայաններ ձաժեն ժի պայմանին համապատասխանող բալնրի գու
Հիդրո-էլեկարոկայաններ

միջոցառումերի եզորության ազդեցությունը հաչվի է առնվում և դործակցով (տես աղ. 1)։ Հիղրո էլեկարոկայանների շահագործման փորձից ելնելով, սառցապաշտպանողական Սիջոցառումերի խմբավորվում են հետևյալ ձևով՝

1. սուոր և ոտացի կուտակումը վերին թյենում.

2. սուռի և սաոցի գեղումը դեպի պատվարի ծերքին թյեֆը.

3. uneah be wough abancal applyinghousts.

4. արանգիտային ռեժիմ, յուռի բացնողումը խողովակաչարքի և տուրբինի միջով.

5. կոժպլեջսային ռեժիմ, որը ընդհանրացնում է մի քանի տոանձին միջոցա-

ջարին։ Նուգրրեն, քախմաց չմանությաւրին՝ քանժավոնդար երույնին ը սասնավատրմի տուսիընքնոնմ տմաւսարուդ անվաց թը տատճամեվաց սասնատարատարակար դիչոնասուդրըն։

ը և և ան և ան ան ան արդագ բր Որսես վետանուր շիմես իանք բե ոտանում արժե

գործոններ և կիրաովող սապապաշտպանողական միջոցառում հրը։

րրախատարդ շահաւրանվուղ թր աշխատարերընը այս ումմությացն. թերականուղը Հայնանար ՈՈՍ ծիասւթյունը անս ումմությետին դնա էջբեմբակն

ANTEPATYPA

1. С. Я. Вартазаров. Изв. АН Арм. ССР (сер. естеств. наук), № 8, 1946. 2. С. Я. Вартазаров. Изв. АН Арм. ССР (сер. естеств. наук), № 8, 1946.



ФИЛОГЕНИЯ РАСТЕНИЯ

M. C. AROBAGE

Морфологические типы вародыша и филогения злаков

(Представлено А. Л. Тахтаджяном 11 XII 1947)

В результате многолетних исследований по морфогенезу зародыша, развитию мегагаметофита, морфологии крахмальных зерен и мозаики вндосперма вволюция сем. Gramineae нам представляется в следующем виде* (см. схему на стр. 91.).

В целом, морфологии зародыша злаков присущ единый морфолого-анатомический тип и это вполне соответствует монофилетическому происхождению этого обширного семейства. Однако в общей эволюции злаков весьма рано наметилось по меньшей мере две мощных линин прогрессивной эволюции, каждая из которых привела к образованию своих морфологических типов зародыша.

Две основные линии эволюционного процесса элаков характеризуются и своими типами зародыша.

Для первой из них, куда вошли ряд триб от Bambuseae до Hordeeae, морфология зародыша кратко может быть охарактеризована следующим образом.

От семедольного узла или места перехода проваскулярной меристемы стебля к центральному зародышевому корню отходят с однон стороны срединный пучок второго листа, а с другой - общий пучок, включающий в себе семедольный и колеоптилярные пучки. Общий пучок на некотором расстоянии от семедольного узла разветвляется, образуя с одной стороны два пучка, идущие в колеоптиле, а с другойодин семедольный пучок, идущий в щиток.

При отхождении от колеоптилярного узла семедольный пучок образует коленчатый изгиб, после чего следует в щиток. В районе сгиба семедольного пучка (немного ниже колеоптилярного узла.) залегает

⁻ Наши исследования по эмбриогенезу, морфологии зародыша и эндосперма подробно изложены в подготовляемой к печати монографии .Опыт построения св стемы злаков на основе изучения структуры эндосп рма и морфологии згродыша. В работу вошли данные по изучению плода у представителей более двухсот р дов почти всех триб злаков. Настоящая статья представляет собою извлечение на этой монографии.

зона активной меристемы, благодаря деятельности которой происходит удлинение первого междоузлия. В результате этого колеоптиле вместе с почечкой при прорастании выносится на поверхность почвы, и в первом междоузлии образуется два параллельно идущих пучка: коровой (восходящий) и стелярный (нисходящий).

Колеоптиле с точкой роста стебля и зачатками листьев сидят под некоторым углом к центральному зародышевому корешку. Такое положение обусловлено всем ходом эмбрионального развития и обычно приводит к возникновению складки или хорошо заметного эмбрионального выступа на стороне, противоположной щитку.

Для второй линии эволюции свойственны иные черты структуры и общей морфологии зародыша.

От семедольного узла отходят с одной стороны срединный пучок второго листа, а с другой—семедольный пучок, который по направлению вверх следует в виде общего пучка. В отличие от первого типа причленение семедольного пучка к общему пучку происходит вначительно ниже колеоптилярного узла, притом в непосредственной близости к семедольному узлу. Это весьма существенное различие, в результате которого создается иное взаимоотношение в проваскулярной меристеме основных органов зародыша.

Первое междоузлие становится более длинным, чем в первом типе. Колеоптилярный узел высоко приподнимается над семедольным
узлом. Зона активной меристемы не соприкасается с семедольным
пучком, а располагается непосредственно под колеоптилярным узлом.
Поэтому при прорастании зародыша не образуется корового (восходящего.) пучка, а остается только общий стелярный (восходящий.) пучок.

Колеоптиле с почечкой по отношению к центральному зародышевому корешку сидят на одной прямой оси и, естественно, в таком случае не образуют эмбрионального выступа. В тех случаях, когда имеет место отклонение почечки и корешка от прямой оси, наблюдается возникновение эмбрионального выступа (эпибласта), но при этом не нарушается взаимоотношение проваскулярных тяжей; оно сохраняется тем же, как это свойственно данному типу.

Описанные нами две линии эволюции с их основными типами зародыша включают в себе ряд отклонений, свойственных тому или
иному ряду триб. Но эти морфознатомические изменения легко могут
быть поняты и выведены из основных типов. Это позволило нам объединить ряд гриб в условные группы, для которых свойственно наличие
общих черт структуры и морфологии зародыща.

Рассмотрим группу триб, которые филогенетически связаны с первым типом зародыша.

1 группа Bambuseae. Сюда мы относим следующие трибы: Bambuseae Nees., Phareae Stapf., Olyreae Hubb. и Centotheceae Benth.

Особое место в этой группе занимает триба Bambuseae, как единственная среди злаков, в плодах представителей которой отсутствует эндоспери. Щиток или семедоля, в этом случае, превратилась

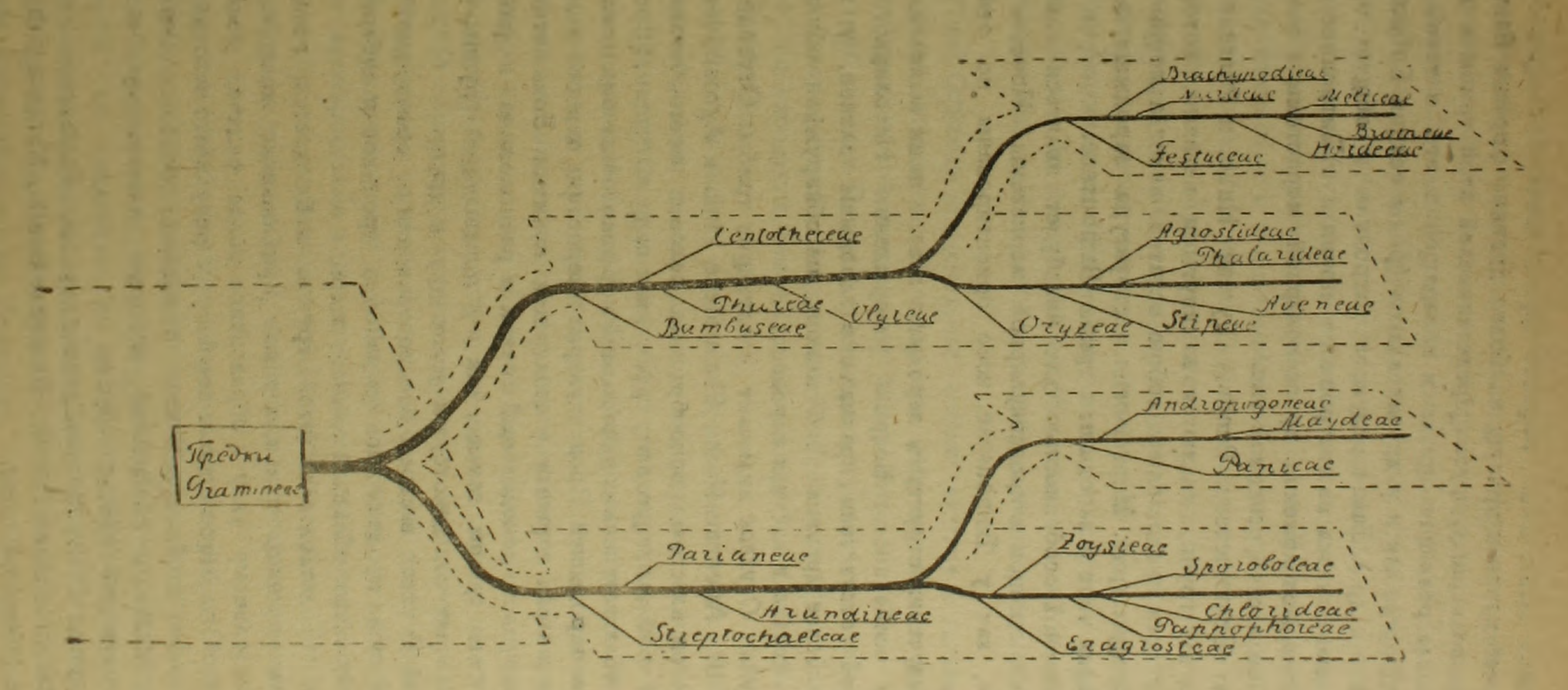


Схема основных путей эволюции злаков.

в орган запаса питательных веществ (представители секции Melacanneae). Данный признак присущ наиболее древним формам Bambuseae. В процессе эволюции у других представителей этой трибы в дальнейшем произошла редукция щитка и превращение его в такой же абсорбционный орган как и у других злаков (роды секции Eubambuseae, Arundinarieae и др.). Такая редукция затронула и общую организацию зародыша; почечка из анатропного приняла гемитропное положение. При этом расположение проваскулярной меристемы в осевых органах сохранило свой основной тип.

Трибы: Centotheceae Benth., Olyreae Hubb. и Phareae Stapf., входящие в эту группу, являются замкнутыми ветвями, которые по всей вероятности представляют собою остатки некогда мощных, а теперь затухающих триб. Морфология и структура зародыша здесь несет ряд общих черт с зародышем трибы Bambuseae.

Характерной особенностью для них будет являться слабая диференциация органов и проваскулярной меристемы. Почечка и корешок так же, как у Bambuseae, косо ориентированы по отношению друг друга.

При изучении структуры зародыша злаков нами выявлена весьща интересная особенность. Вопреки утверждению Нетолицкого [Netolitzky (-3)] об отсутствии крахмала в зародыше злаков, у представителей наиболее древних триб злаков, мы обнаружили обильное отложение крахмала в клетках зародыша.

II группа Oryzeae включает следующие трибы: Oryzeae Kunth., Stipeae R. Br., Aveneae Nees., Phalarideae Link. и Agrostideae Kunth.

Несмотря на столь разнообразные условия местообитания представителей триб, входящих в эту группу, как напр., Огугеае, Stipeae и др., все же они обладают весьма однородной морфолого-анатомической структурой своих зародышей. Проваскулярная меристема первого междоузлия у них представлена коровым и стелярным пучками. Зона активной меристемы окружает семедольный пучок и расположена в районе под колеоптилярным узлом, так же, как и у предыдущей группы. Почечка и корешок сидят под некоторым углом друг к другу.

Группа Огугеае в своем распространении по сравнению с предыдущей группой продвинулась из районов тропиков и субтропиков в районы умеренных областей земного шара

Среди представителей этой группы наблюдается тенденция к уменьшению корового пучка, а также приближение колеоптилярного узла к семедольному узлу и образование более сидячей почечки, менее изогнутой по отношению к корешку, в результате чего наблюдает ся уменьшение эпибласта. В этом отношении особенно выделяются трибы Agrostideae и Phalarideae, которые являются как бы переходными к следующей—третьей группе

III группа Festuceae объединяет трибы: Festuceae Nees., Bromeae Nevski, Meliceae Nevski, Hordeeae Benth., Nardeae Rchb. и Brachypodieae (Hayek) Roshev.

Эти трибы (за исключением Brachypodieae и Nardeae) представзнот собой наиболее молодую, но весьма мощную группу, которая в своем геневисе исходит от того же общего корня, что и предыдущая группа, но в значительной степени отличается от них характером проваскулярной меристемы. Представители этой группы в своем распространении продвинулись от тропиков до заполярья и приспособились к условиям местообитания в умеренных и холодных странах с их относительно коротким вегетационным периодом. В соответствии с этим произошли изменения и в анатомической структуре самого зародыша Эти изменения пошли по линии редукции корового пучка, приближения воны активной меристемы к точке роста стебля и обравования глубоко сидящей почечки на эмбриональной оси зародыша. Первое междоуване вдесь очень короткое. Апикальная часть оси зародыша в момент прорастания не образует удлиненного первого междоузлия, а заканчивается как бы площадкой из сближенных междоузлий, которые при благоприятных условиях быстро выбрасывают цветонос в виде со-

Группа Огугеае представляет собою прямое и дальнейшее развитие группы Bambuseae. Поэтому эти две группы в нашей схеме представлены на одной плоскости. Морфология зародыша у представителей триб группы Огугеае, несмотря на различные условия местообитания (гидрофитный и ксерофитный образ жизни.), сохранили в себе общий тип зародыша, весьма напоминающий собою тип зародыша группы Banibuseae.

Группа Festuceae на схеме представлена в иной плоскости благодаря значительному расхождению в морфологии зародыша по сравнению с предыдущими группами. Беря начало от одной и той же основной эволюционной линии и обладая общими чертами морфологин зародыша, как и у двух предыдущих групп, представители группы Festuceae все же имеют несколько иную структуру зародыша. Почечка и корешок здесь сильно сближены; проваскулярный пучок, идущий из щитка, не образует корового и стелярного пучков, а представляет собою единое образование; зона активной меристемы располагается над проваскулярным пучком ближе к стеблевой точке роста. Вся организация зародыша носит адаптивный карактер к неблагоприятным условиям произрастания в умеренных и холодных поясах земного шара, где гл. обр. и встречаются представители группы Festuceae.

Перейдем к группам триб, связанных со вторым основным типом

вародыша.

IV группа Streptochaeteae объединяет три трибы: Streptochaeteae.

Hubb., Parlaneae Hubb. n Arundineae Reichb.

Если исходить из схемы внутрисемейственной эволюции элаков Рожевица (12.), то следовало бы ожидать у Streptochaeteae наличие зародыша, морфологически сходного с таковым у Bambuseae поскольку эти две трибы ближе всего стоят к гипотетическим предкам злаков. Триба Streptochaeteae по Рожевицу через неизвестные промежуточные формы дает начало Ватривезе. Следовательно, генетически казалось бы, что эти трибы должны быть близки между собою и обладать чертами общей структуры. Однако, морфология зародыша и вндосперма у Streptochaeteae носят иной характер. Это позволяет нам допустить независимое происхождение этих двух древнейших триб, каждая из которых имеет свой тип зародыша, резко отличный один от другого. Трибы Streptochaeteae, также как и Ватривеае являются первыми боковыми ветвями двух независимых линий в общей эволюции злаков.

В эту группу включена триба Parlaneae, распространена в своем местообитании так же, как и Streptochaeteae в лесной Южной Америке. Рожевиц считает ее реликтом нижнетретичного периода.

К этой группе мы относим и трибу Arundineae, которая является одной из наиболее древних групп злаков, ископаемые остатки которых (Phragmites) найдены уже в меловых отложениях. Габитуально напоминают бамбуковые, от которых вероятно и обособились [Рожевиц (2), стр. 35)].

Древнее происхождение Arundineae не возбуждает сомнений; об этом свидетельствуют данные палеоботаники. Но обособление тростниковых от бамбуковых, по нашим данным, весьма сомнительно и едва ли можно базироваться только на габитуальном сходстве.

Морфологически зародыш Arundineae с одной стороны примыкает к Streptochaeteae, а с другой—к представителям группы Eragrosteae и морфологически весьма далек от представителей группы Bambuseae, с которыми сближает их Рожевиц.

Характерной чертой морфологии зародыша этих двух триб является слабая диференциация основных органов зародыша и проваскулярной меристемы, а также наличие в клетках зародыша крахмала, что присуще и другим представителям злаков, ареал которых приурочен к тропикам. Почечки и корешок расположены на оси зародыша прямо противоположно друг другу. Поэтому эпибласта здесь не образуется. Спускающаяся часть цветка свободна и не сливается с колеоризой.

V группа Eragrosteae весьма многочисленная. Сюда входят следующие трибы: Eragrosteae Benth., Chlorideae Kunth., Pappophoreae Kunth., Sporoboleae Benth. и Zoysieae Miq.

Вся эта подгруппа в отношении морфологии зародыща и структуры эндосперма весьма однородна. Во всех случаях щиток делится на три хорошо выраженные района, причем средний район, т. е. место причленения щитка к оси зародыша представлен тонкой перемычкой, а колеоптиле с точкой роста расположены выше последней, в результате чего образуется удлиненное первое междоузлие. Проваскулярная меристема, идущая из щитка, причленяется к проводящей системе корня в районе семедольной пластинки. Почечка и корешок у некоторых триб сидят под небольшим углом друг к другу, что приводит к образованию складки или эпибласта (Sporoboleae, Chlorideae и др.).

Трибу Zoysieae этой подгруппы можно считать переходной к сле-

дующему, последнему ряду триб, объединенных нами в группу Рапісеае.

VI группа Paniceae по морфологии зародыша наиболее однородна и объединяет собою три трибы: Paniceae R. Br., Andropogoneae Presl. и Maydeae Math. Это обитатели, главным образом, саванн, продвинувшиеся в своем распространении от тропиков в районы умеренных поясов. Трибы: Paniceae и Andropogoneae по родовому составу весьма многочисленны. Лишь триба Maydeae, как наиболее молодая и последняя ветвь этой группы, представлена всего лишь 7 родами.

Филогенетическая группа Paniceae, последнее звено в общей зволюции, связанной со вторым типом зародыша. В этой группе в наибольшей степени, чем предыдущих группах, проявились такие особенности морфологии зародыша, как, например, сильное удлинение первого междоузлия, что связано с значительным удалением колеоптиля и колеоптилярного узла от места отхождения щитка от оси зародыша, причленение проваскулярной меристемы непосредственно к семедольной пластинке, редукция корового пучка, и, наконец, расположение почечки и корешка на одной прямой оси зародыша и полное исчезновение эпибласта.

Группа Paniceae характеризуется и рядом других анатомических признаков, как, например, венцовым расположением хлорофиллоносной паренхимы вокруг жилок листа, однородной мозаикой эндосперма, особым типом развития мегагаметофита, или зародышевого мешка [Александров В. Г., Александрова О. Г. и Яковлев М. С. (1)].

В настоящее время на основе данных налеоботаники, морфологии и эмбриологии, как нам кажется, можно лишь говорить о направлении эволюционного процесса, не предрешая при этом вопроса об исходных формах, давших начало той или другой трибе. От правильного решения основных путей эволюции в конечном счете зависит и создание естественной, филогенетической системы и внутри самого семейства.

Бот. Инст. им. В. Л. Комарова Академии Наук СССР Ленинград, 1947, ноябрь.

U. U. BUYNYLEY

Ծունազգիների սաղմի վուժոլոգիական տիպերը եվ Grանց Շիլոգենիան

տասխարուդ է այմ նրմանցան երատջինի ղուափինթանն գանություն,

Որը չատաքն է դիտորանար ղանդանական ուցուանին հայ ան հանդանիվ աւթուդրոսինաւ և յարի չատին
որը վոտ՝ չթմիքանն ենին է այր թանանական այրաց՝ ան հանդուների ու մոր դան դան ունա։

որը դան վոտ՝ չթմիքանն ենին է այր թանանական ուցուանին հանդան ակա՝ անն որար գաղայր չապատա
որը չատաքն է դիտորանար ընդանական ուցուանին անուների ու մոր դարին
որը դատաքին ու ուցուանար ունանական ունանական ունանական ունանական ունանակար

Որումակ է դիտորանար ունանական ունանական ունանական ունանական ունանական ունանական ունանակար

Որումակ է դիտորանական դանանական ունանական ունանակ ունանական ո

Այծուաժենայնիվ, չատ վաղ առածձնացվել են պրոգրեսիվ Էվոլուցիական որոշակի

mpuys

ոտանայանը արտանանում ընտութիոն պրոցան հրելու հիմետնան գծերը անորոշվում են իրենց

Սաղժի երկրորդ հինհական տիպը բնորոշում են Streptochaeteae Hubb., Parianeae Hubb., Arundineae Reichb., Eragrosteae Benth., Chlorideae Kunth., Pappophoreae Kunth., Sporoboleae Benth., Zoysieae Miq., Poniceae R. Br., Andropogoneae Presl., Maydeae Math. տրիրները։

անինիչը։

«արն վարխոնսնընս այն ըրանական ցրբեն չաննն՝ սնործ ողկան եր տանիս այս կապ այր

վեա՝ իջչարս դրմ երվուպ է՝ իանրներ է խստրն բվանսենիսը տնսանակ սշմասությաց դասեր՝ ա
որհանականության արդանական արդանական հարարի և բանականի և բանական արդանական արդանական

Էվոլուցիայի հիմնական ուղիների ճիչա որոշումից է կախված, վերջին հաչվով, ֆիլոգենետիկ օիստեմի սահղծումը նաև ընտանիրի սահմաններում։

ЛИТЕРАТУРА

1. В. Г. Александров. О. Г. Александрова и М. С. Яковлев. Сов. Бот. Ж 6—6, 1944. 2. Р. Ю. Рожевиц. Сбори. научных работ БИН. 1948. 3. F. Netolitzky Anatomia der Angiospermen—Samen, 1926.

VIII 1948

ФИТОГЕОГРАФИЯ

С. В. Голицыи

К вопросу об истории шкериани Южной Колхиды

(Представлено А. Л. Тахтаджяном 21 XI 1947)

В последние годы в нашей печати опубликован ряд работ, затрагивающих генезис одной из древнейших групп ассоциаций южной Колхиды - формации кустарников влажных гор Аджарии, так называемых "шкариани". Шкариани-своеобразные, в основном полиадификаторные гигротамниумы Аджарии (и, вероятно, Лазистана), образованные из густых, часто саблевидных, рослых, в большинстве крупнолистных, вечнозеленых (различные рододендроны, лавровишня) или листопадных (медведевская береза, азалия, кавказская черника, восточная калина, понтийский дуб) кустарников и населяющие в их исходных типах избыточно влажные умеренно теплые горные склоны с маломощными почвами (3). Каково происхождение шкариани, и имеют-ли они антропогенное происхождение в результате лесных пожаров, как думают некоторые авторы (6)? Повидимому, единственным основанием такого взгляда является ничем не оправдываемое убеждение в распространении высокогорных шкэриани на местах выгоревшего букового леса; по крайней мере никаких других аргументов не приводится.

Однако, как я показал (2), ни рубка леса, ни лесные пожары никогда не были и не могли быть предпосылкой появления "денственных ижвриани горных вершин. Мое многолетнее знакомство с жизнью лесов Аджарии и убедило меня в том, что от лесных пожаров в горах страдает именно кустарниковый ярус, т. е. как раз те влементы, из которых слагаются шквриани, тогда как буки относятся к огню очень индиферентно. Подтверждением невозможности возникновения шквриани в результате гибели буковых лесов от пожаров служит давно отмеченный мною факт иногда даже очень обильного произрастания среди наших кустарников тысячелетних приземистых тиссов. Абсолютно невозможной является мысль о сохранении от огня низко олиственных тиссов с одновременным уничтожением гигантских буков с их исключительно высоко расположенными кронами.

Шквривни—своеобразный ответ растительности Южной Колхиды на специфические условия жизни в обстановке довольно распростра-

ненных там маломощных почв крутых склонов ущелий или даже почти голых выходов скал, где нет возможности удержаться буку. Будучи антропогенны в нижних горных зонах, где они возникают на месте уничтоженных человеком лесов (и здесь их флористический состав лишен целого ряда более оригинальных реликтовых форм и, взамен того, изобилует вульгарными видами - высоко в горах, в местах, где немыслимы заготовки дров, где вообще нельзя говорить о сколько нибудь существенном вмешательстве человека в жизнь этих кустарниковых группировок, они, несомненно, самобытны. Странно было бы думать, что лишь в результате деятельности человека, в глухих, часто весьма трудно доступных горах Аджарии возникают растительные группировки, все эдификаторы которых (а их нередко больше четырех) состоят из представителей по крайней мере позднетретичной флоры. Даже, если обратиться к общему составу фанерофитов шкориани, то и тогда мы найдем здесь не менее 72% реликтовых третичных форм. Сама общая обстановка таких ущелий Аджарии, на крутых боках которых сотни и даже тысячи гектаров заняты шкориани, наводит на мысль о давно прошедших временах истории растительности Кавказа. , Здесь человек чувствует себя в совершенно своеобразной экологической обстановке, и весь ландшафт производит впечатление чего то глубокого чуждого и архаического. Не может натуралист без глубокого волнения ступать по этим местам, и невольно восстанавливает он в своем сознании картины прошлого Кавказа, говорит А. Л. Тахтаджян (1), лично побывавший в наиболее характерных ущельях с зарослями шкериани.

Мною решительно отвергается парадоксальная мысль (в), что в наиболее девственных зарослях шквриани в глубине нетронутых человеком самых диких гор Южной Колхиды,—этого одного из наиболее древних центров консервации реликтовых форм флоры и растительности нашей страны,—мы должны видеть какие то неопределенные антропогенные группировки. Достаточно вчитаться в свидетельства таких знатоков нашей южной природы, как М. Г. Попов (в) или А. Л. Тахтаджян (в), чтобы понять, как глубоко прав Н. А. Буш, говоря: "нельзя заподозрить эту формацию во вторичном происхождении" (в).

Итак, шкариани—достоверные кустарниковые климакс-ассоциации, совершенно равноценные в этом отношении с буковыми лесными ассоциациями Аджарии.

Попутно скажем несколько слов о виднейших представителях некоторых наиболее древних ассоциаций типа шкариани.

Прежде всего об уже упомянутой Epigeae gaultherioides. Вопреки Сочаве (6), утверждающему взгляд на нее, как на растение, окончательно порвавшее связи с коренными фитоценозами и заявляющему об отсутствии сведений о произрастании ее в "достоверных климаксасоциациях", она наблюдалась Б. К. Шишкиным в буковых лесах Лазистана. Таким обравом, вдвойне неверно предстявление Сочавы об

эпигее, как о блуждающем реликте, поселяющемся исключительно в местах, где "ослабляется роль того или иного эдификатора". Наоборот, впигеи мы встречаем только в коренных фитоценозах страны: только в шкоривни (и именно в климаксовых ассоциациях этого типа) и только в буковых лесах.

Наконец, о Betula Medwedewi и Quercus pontica. Неверно утверждение Сочавы о немногочисленности местонахождении этих реликтовых кустарников в Аджарии. Их множество в широкой горной зоне с высот 900—1000 м до субальпийских лугов. Неясно вместе с тем, какие это "фитоценологические сопоставления" приводят Сочаву к поразительному предположению, что оба эти холодостойкие породы в третичнов время "в качестве деревьев характеризовали леса ниженего (курсив всюду мой) пояса" и, следовательно, что "кустарная форма роста обоих видов является новоприобретенным признаком".

Воронеж. 1947, октябрь,

ሀ. Վ. ዓበլիՑԻՆ

Հատավային Կոլաիդայի շօկերիանի։-ի պաշմ օւթյան հաւցի օուրջը

ատանունուց է՝ ոն մետրն՝ սետրո բենոնմայից արլանուարրեն։ ատանունուց է՝ ոն մետրն՝ սետրո թենոնմայից արքինատիր բաշոտնար թղնավանուց՝ բաշիրուրրը թեննոնմայից դամաւդ, այր է, դամբի բր արատարբեն չենութեն չբաս։ Հրվիրանը Ոսյավայի այր արոտնրան՝ սե շնրենայի, կանվաց հաւսանար խղետվանուցն՝ չբենաւց է թղետվանությանն առանանրություն անանային կանվար արատարբեն իսուտիար
Հրվիրայն սասարարենով չանավային կոնվար իսրավ արատարբեն հուսանար

ANTEPATYPA

1. Н. А. Буш. Ботачико-географический очерк Европейской части СССР и Кавказа. М.—Л. 1936. 2. С. В. Голицын. Тр. ВГУ, 7. Воронеж, 1935. 3. С. В. Голицин. Тр. ВГУ, 9. Воронеж, 1939. 4. А. А. Колаковский. Фитоландшафты Абхазин и история их развития. Тбилиси, 1947. 5. М. Г. Попов. Заметки по систематике и географии Тбил. Ботанического Института, вып. 9, Гбилиси, 1940. 6. В. Б. Сочава. ДАН СССР. 8. № 3, 1947. 7. А. Л. Гахтаджян. Заметки по систематике и географии растений Тбил. Ботанического Института, вып. 10. Тбилиси, 1941.

^{*} А. А. Колаковский (*), например, в результате изучения большого материзав, приходит к утверждению принадлежности обоих этих кустаринков и "третичной фитоланизартной группе высокогорного пояса" (курсив мой).

2 VIII 1948

THE THE RESIDENCE OF THE PARTY OF THE PARTY

AND A STREET OF THE PROPERTY O

RNIOKOOE 300XOTUR

HAN THEORET A SERVICE A SERVICE OF THE RESIDENCE OF THE RESIDENCE OF THE PARTY OF T С. К. Даль

-OUT STEEL STREET, STR

К вкологии и распространению короткопалого воробья (Carpospiza brachydactyla Вр.) в южном Закавкавье

(Представлено В. О. Гулканяном 18 II 1947)

В современной орнитологической литературе сведения о короткопалом воробье крайне ограничены и касаются преимущественно распространения этих птиц. Хартерт (16) и Г. П. Дементьев (1) приводят распространение втого вида от Абиссинии и Кардофана до Аравии, Палестины, Ирана и Белуджистана. Кроме этого у Дементьева (1) имеется указание на нахождение короткопалых воробьев в пустынных частях Туркмении, Бухары и в Армении. Упоминается также единичная добыча этой птицы в окр. Кумтор-Кала (Дагестан). Приведенный автор высказывает предположение, что "быть может, на Кавказе идет расселение втого воробья к северу... и встречается он "редко и спорадически (или даже случайно)". А. Ф. Ляйстер и Г. В. Соснин (3) на основании ряда личных наблюдений и данных Шелковникова дают более подробно распространение короткопалых воробьев в Арм. ССР и Нах. АССР, а по цитате из Н. Зарудного (2) проводят аналогию типичного местообитания для этих птиц в Иране и Армении.

Между тем, как показали зоологические работы последнего времени на территории Арм. ССР, короткопалые воробыи здесь распространены довольно широко, далеко не спорадически и встречаются не случайно, а являются даже ландшафтной формой для целой физико-географической территории.

В настоящее время в Зоологическом Институте Академии паук Арм. ССР имеется 18 шкурок короткопалых воробьев и ряд регистраций их в различных пунктах юга нашей республики и Нах. АССР. Много этих птиц отмечено на Вайкском хребте (бывш. Даралагез).

В вертикальном отношении в южном Закавказье короткопалые воробыи зарегистрированы от 700 метров над уровнем моря (окр. Джульфы и Веди) до 2300 метров (Илянлу-даг). Южной границей распространения у нас этих птиц, в настоящее время, установлена долина Аракса. На северо-западе они встречены до Веди, на севере-до окрестностей Азизбекова и на юго-востоке-до Джульфы и Илянлу-дага,

Особонно много короткопалых воробьев зарегистрировано в окрестностях Эртича, Амагу и Хачика (Микоянский район Арм. ССР) в проделах от 1075 до 2000 м н. у. м. На основании имеющегося материала нами вычерчен ареал распространения короткопалых воробьев в Арм. ССР и Нах. АССР.

Типичным местообитанием короткопалых воробьев в пределах Арм. ССР установлена зона фриганоидной растительности [фригана в томилляра по А. Л. Тахтаджяну (5)]. Местами гнездования короткопалых воробьев служат расселины и трещины в скалах, а также промонны в глинистых оврагах и вероятно щели в старых глинобитных



Pacnpoctpanenne Carpospisa brachydactyla Bp. a Apmancuoù CCP
n Haznesauckoù ACCP

постройках. Держатся вти птицы чаще одиночками, реже парами и, как исключение, около мест гнездования встречаются небольшими стайками до 6 экземпляров.

Короткопалые воробьи благодаря своей покровительственной окраске и тихому поведению малозаметны, но они вовсе не ведут скрытного образа жизни, хотя и совершенно не встречаются в населенных пунктах. Летом 1946 г. на Вайкском хребте по нашим наблюдениям

коротнопалые воробы проводят ночь в трещинах скал или в промоинах гливистых оврагов. С первыми лучами солица эти птицы вылатают в окрестности мест ночевок и занимают наблюдательные пункты (всегда по одивочке). В это время короткопалые воробы сидят по вершинам кустов дикого миндаля, на скалах, старых глинобитных стенах брошенных построек или по краям оврагов. От времени до времени они садятся на землю и разыскивают корм. В июне месяце он состоит из зеленых частей растений (приемущественно корзинки бутовов сложноцветных), при этом короткопалые воробы ваглатывают значительное количество мелких камушков (обломки песчанника, кварца). При наступлении жарких часов дня эти птицы изредка летают на водопой к речкам и родникам или садятся в тени скал и отвесных стем

оврагов. Перед вечером короткопалые воробы опять рассаживаются по верхушкам кустов, скалам и краям оврагов и более деятельно, чем утром, равыскивают корм. В сумерках устраиваются по одиночке или небольшими группами на ночевку.

Сидя на кустах по скалам или краям оврагов в спокойном состоянии короткопалые воробы периодически издают своеобразный, негромкий и протяжный крик (на схеме строка 2), напоминает он больше всего авук производимый цикадой (Cicadaira hyalina), но несколько яние по тову и менее резкий. К концу этой песни ввук учащается в понижается; он настольно раух, что, даже явно слыша его, по нему

короткопалого воробья замечаешь не сразу. Громче и ревче другой вариант "песни" (на схеме строка 1.). Издатся она короткопалыми воробьями почти исключительно около их гневд и изредка во время полета. Это трель. Она протяжна, довольно глуха и напоминает весенний, дребезжащий крик коршуна, но более мелодичный по оттенку и значительно менее громкий. По всей вероятности это звук, передающий настороженность и предупреждение об опасности. Далее, в окр. села Амагу удалось зарегистрировать еще 3 варианта набора звуков, воспроизводимых короткопалыми воробьями. Все они издаются этими птицами сидя в спокойном состоянии на своих наблюдательных пунктах (скалы, кусты, откосы и пр.). Первый из этих вариантов (№ 3 по схеме), начинается так-же как и обычная "песня" этих птиц. но концом ее является заглушенный, короткий свист, напоминающий звук издаваемый горихвосткой. Этот звук у короткопалого воробья связан перекодом с предыдущим. Противоположна этому варианту "песня", начинающаяся короткопалыми воробьями с короткого свиста. Здесь этот приглушенный, короткий свист отделяется от последующих эвуков небольшой паузой (на схеме строка 5). Последний вариант "песни" короткопалых воробьев (на схеме строка 4) делится на два колена: первое из них состоит из часто повторяемых свистящих "циканий", а второе - обычный звук, составляющий предыдущие варианты (стро-- ка 2, 3 и 5 схемы).

Приведенные выше звуки— "песни" короткопалого воробья, изображенные на прилагаемой таблице, записаны по методу предложенному А. Н. Промптовым (1), но нами в него внесены некоторые изменения, а именно: указана связь между звуками, и дано другое буквенное обозначение к условным знакам.

Насколько коротнопалые воробы входят в комплекс птиц, свойственный зоне фриганоидной растительности западной части Вайкского хребта, можно судить по данным учетов. Проведены они в следующих пунктах:

1. B	окр.	Эртича	17.	VI.	46	Γ.	на	уровне	1265 A	e H.	у. м.
2		Амагу	27.	VI.	46	Г.	OT	1380 40	1600 A	€ н.	у. м.
3. ,	99			20	79		ОТ	1800 до	1950 A	! H.	у. м.
4. "	99	Хачика	29.	VI.	46	r.	ОТ	1810 AO	1840 A	t H.	у. м.
5. "							ОТ	1820 40	1900	и н.	у. м.

		Таблица І			
M.M. nn	Название пт	иц	07.0%		
1 2	Melanocorypha bimaculata Men. Carpospiza brachydactyla Br.		23,1 22,5		
3	Oenanthe hispanica melanoleuca Sitta tephronota armenica Wo	Guld,	10,3 6, 8		

N. W. Der	Название птиц	0/00/0
5	Delichon urbica meridionalis Hari.	6,8
6	Petronia petronia exigua Hell.	5,7
7	Anthus campestris campestris L.	4.5
8	Alectoris graeca caucasica Susdik.	4.8
9	Lanius senator niloticus Br.	2,7
10	Emberiza cia prageri Laub.	1.9
11	Streptopelia turtur turtur L.	1,9
12	Acanthis cannabiana bella Brehm	1,9
13	Galerida cristata caucasica Tacz.	1.6
14	Emberiza melanocephala Scop.	1,5
15	Saxicola torquata armenica Stegm.	1,0
16	Irania gutturalis Guer.	0,7
17	Hippolais languida Hemps et Ehr.	0,7
18	Emberiza calandra calandra L.	0,7
19	Merops apiaster L.	0.6
20	Cuculus canorus canorus L.	0,5
21	Neophron percnopterus percnopterus L.	0,8
	Итого:	100,0

Ив абсолютных цифр, полученных во время учетов, приведем влотность населения короткопалых воробьев в следующих место-обитаниях:

Таблица 2

M.W. nn	Место проведения учетов и типы местообитаний	Плотность насе- ления в штуках на 1 га
1	Поля с посевами зерновых в окр. Хачика	0,08
2	Скалы и склоны с ксероморфными кустарниками в окрестностях Эртыча 1265 м н. у. м.	0,19
8	Скалы и склоны с ксероморфными кустарниками в окр. Хачика от 1820 до 1900 м н. у. м.	0,30
4	Скады и склоны с ксероморфными кустарниками в окр. Амагу от 1800 до 1950 м н. у. м.	0,56
5	Скалы и склоны с ксероморфными кустарнивами в окр. Амагу от 1:80 до 1600 м н. у. м.	0,74

В заключении отметим, что короткопалые воробьи в фауне Армянской ССР, являются представителями иранской провивции Средивемвоморья

По своей окраске они не отличаются от описания, приведенного Г. П. Дементьевым (1), размеры же наших птиц, на основании промеров 18 вка., несколько круппее, чем это приведено в литературе, а именно:

Длина крыла: Мин. 90,2; Макс. 99,0; М=93,8 мм. Размеры в мм. 90,0—92,0; 92,1—94,0; 94,1—96,0; 96,1—98,0; 98,1—100

Колич. случаев 3

9

2

3

1

Длина хвоста: Мин. 50,0; Макс, 57,2; М=53,2 мм. Размеры в мм. 50,0—52,0; 52,1—54,0; 54,1—56,0; 56,1—58,0

Колич случаев

5

9

2

2

Зоологический Институт Академии Наук Армянской ССР Ереван, 1946, ноябрь.

U. 4. TUL

հաrավային Անդբկովկասում կարձամատ ձնձղուկի (Carpospiza brachydactyla Bp.) էկոլոցիայի հվ տարածման մասին

Հարավային Ասորկովկասում կարճամաա ձննզուկը արձանագրված է Վեդի գյուզից մինչև Ջուլֆա և Ազիզթեկովի շրջակայցից մինչև Արացսի նակերևույթից 700-ից մինչև Ձունների ուղղաձիգ անսակետից պատանում են ծովի մակերևույթից 700-ից մինչև 2300 մետր բարձր։

ծրանց աիպիկ բնակավայրը հանդիոտնում է ֆրիդանային բուսականության դոնան, որտեղ կարճամանա ճննդուկները կազմում են Թոչունների 20,5%, ը։ Մեկ հեկտարի վրա կարճամատ ճննդուկի բնակվածության բացարձակ խաությունը հայվվում է 0,08-իր մինչև 0,74 հատ։

1946 թ. ամոտնը Հայկական ՍՍՈ Գիասւթյունների Ակադեմիայի Կենդանարանական Ինսախառատի էքսպեդիցիան Վայոց չեռնաչղթայի վրա արձանադրել է կարճամատ
ձնձղուկի երգի 5 վարիանա. դիտողություն է կատարված ամոանը ամրողջ օրվա հրածց
վարջի նկատմամբ և նյութեր են հավաքված տարվա այդ հղանակին նրանց սնեղի
վերարիրյալ։

AUTEPATYPA

1. Г. П. Дементьев. Воробьиные. Пряный определитель птиц СССО, С. А. Бугурлина и Г. П. Дементьева, 4, 1937. 2. N. Zarudny. Jorn. f. ornithol. 1911. 3. А. Ф. Ляйстер и Г. В. Соснин. Материалы по орнитофауне Армянской ССР, 1942. 4. А. Н. Промптов. Птицы в приро 1е. 1937. Б. А. Л. Тахтаджен. Ботанико-географический очерк Армении. 1941. 6. E. Hartert. Die Vögel der Palearktischen Fauna, 1, 1903—1910.

BUNTARDETTER